



**Corso Luigi Einaudi, 55 - Torino**

**Appunti universitari**

**Tesi di laurea**

**Cartoleria e cancelleria**

**Stampa file e fotocopie**

**Print on demand**

**Rilegature**

**NUMERO: 585**

**DATA: 17/07/2013**

# **A P P U N T I**

**STUDENTE: Rinaldi**

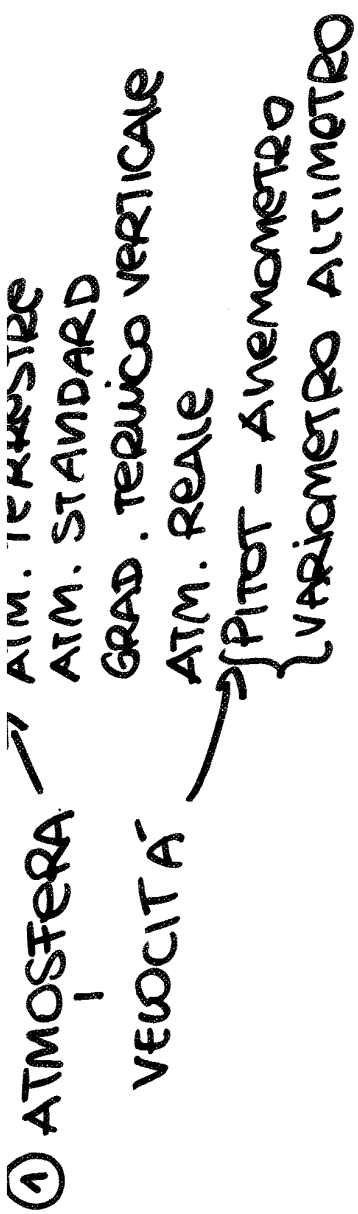
**MATERIA: Fondamenti di Meccanica del Volo**

**Prof. Gili**

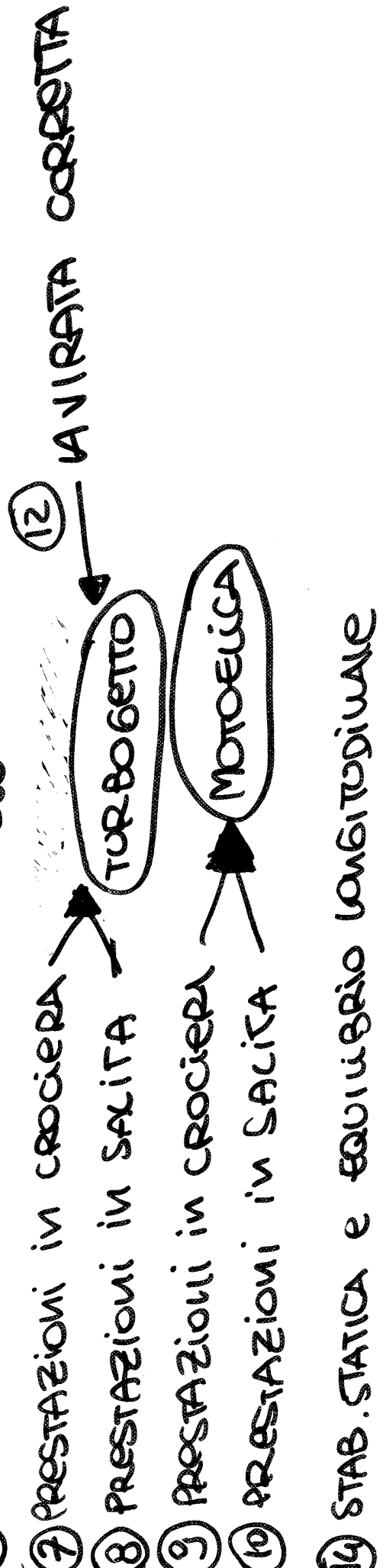
Il presente lavoro nasce dall'impegno dell'autore ed è distribuito in accordo con il Centro Appunti.

Tutti i diritti sono riservati. È vietata qualsiasi riproduzione, copia totale o parziale, dei contenuti inseriti nel presente volume, ivi inclusa la memorizzazione, rielaborazione, diffusione o distribuzione dei contenuti stessi mediante qualunque supporto magnetico o cartaceo, piattaforma tecnologica o rete telematica, senza previa autorizzazione scritta dell'autore.

**ATTENZIONE: QUESTI APPUNTI SONO FATTI DA STUDENTIE NON SONO STATI VISIONATI DAL DOCENTE.  
IL NOME DEL PROFESSORE, SERVE SOLO PER IDENTIFICARE IL CORSO.**



- ④ VOLO LIBRATO
- ⑤ SISTEMI PROPULSIVI
- ⑥ TRAZIONE e POTENZA NECESSARIA AL VOLO



## SCHEDE INSEGNAMENTO

ANNO ACCADEMICO di riferimento (a cura di GESD) (istituito per la prima volta nell'A.A 2012-2013)  
 TITOLO DELL'INSEGNAMENTO: Introduzione alla Meccanica del Volo  
 CORSI DI LAUREA in cui l'insegnamento è offerto (a cura di GESD)  
 CODICE INSEGNAMENTO (a cura di GESD)  
 CREDITI (a cura di GESD)  
 SETTORE SCIENTIFICO DISCIPLINARE (a cura di GESD)  
 PERIODO DIDATTICO (a cura di GESD)  
 Insegnamento erogato in lingua: (a cura di GESD)

**Tabella:** recante la struttura del modulo, sulla base di informazioni fornite da CAF/Presidenze, con indicazione della stabilità dell'incarico (a cura di GESD);

propedeutici / precedenze / esclusioni (già presenti e a cura di GESD)

### PRESENTAZIONE sintetica (sotto la responsabilità del Referente del CdS)

Nell'ambito di questo insegnamento si introducono sinteticamente le procedure per la valutazione delle prestazioni dei velivoli durante le fasi di volo librato e propulso (motoelica e turbogetto). Successivamente vengono illustrate le basi per lo studio analitico degli stati di equilibrio del velivolo. Il corso intende inoltre fornire allo studente i principi della dinamica del volo, partendo dall'estensione e dall'approfondimento dei concetti di base della meccanica del volo. In particolare, oltre all'analisi di stabilità, vengono presentate le problematiche inerenti la valutazione delle qualità di volo di un aeromobile in base alla normativa vigente. Infine vengono trattati i fondamenti della meccanica del volo dell'elicottero.

### CONOSCENZE E ABILITÀ DA ACQUISIRE (sotto la responsabilità del Referente del CdS)

L'obiettivo del corso è quello di fornire all'allievo le competenze di base della meccanica del volo atmosferico.

Al termine dell'insegnamento si richiede allo studente di:

- saper stimare le prestazioni di un aeromobile ad ala fissa e rotante;
- conoscere gli strumenti di analisi del comportamento del velivolo nelle condizioni di equilibrio e nel volo manovrato;
- comprendere i requisiti prescritti dalla normativa per la valutazione delle qualità di volo.

Ai fini dell'autonomia di giudizio e della capacità di comunicazione tecnica, si verificherà che lo studente abbia acquisito:

- la capacità di valutare numericamente un problema di tipo ingegneristico;
- la capacità di prendere una motivata decisione progettuale in presenza di requisiti progettuali;
- la capacità di stimare rapidamente gli ordini di grandezza dei valori numerici che ragionevolmente l'ingegnere si deve attendere nei principali casi di riferimento della materia;
- la conoscenza della terminologia internazionale di base in campo aeronautico.

Queste capacità dovranno essere acquisite attraverso lo studio di alcuni problemi, indicati nel Programma, che vengono proposti in quanto esemplari, ovvero rilevanti per le applicazioni tecniche e adatti a introdurre la gamma di metodi che nel complesso l'ingegnere aerospaziale deve conoscere.

### PREREQUISITI (sotto la responsabilità del Referente del CdS)

L'allievo che accede a questo insegnamento deve conoscere gli strumenti di base del calcolo differenziale e integrale, della geometria analitica nel piano e nello spazio. È utile inoltre che l'allievo disponga delle nozioni di base sull'algebra delle matrici. È infine auspicabile la comprensione della lingua inglese parlata e scritta.

**PROGRAMMA** (a cura del Docente dell'insegnamento) a cura del coordinatore della disciplina in caso di insegnamenti comuni/coordinati

Il programma del corso intende affrontare i seguenti argomenti per i quali le ore computate sono comprensive delle esercitazioni:

- ① L'atmosfera di riferimento (3 ore): L'atmosfera reale, curve di stato. L'Atmosfera Tipo Internazionale (ISA). I vari tipi di quote, la riduzione alla quota standard.
- ② La misura della velocità (1.5 ore): Il tubo di pitot, flusso compressibile e incompressibile. Il numero di Mach, regime supersonico. Velocità rispetto all'aria, velocità calibrata, equivalente e vera.
- ③ Richiami di aerodinamica (1.5 ore): Resistenza d'attrito e di scia. La polare del profilo e dell'ala, effetto dell'ipersostentazione, della curvatura del profilo e delle superfici mobili al bordo di fuga. La resistenza d'interferenza, dalla polare dell'ala a quella del velivolo.
- ④ Volo librato (3 ore): regimi di volo di massima distanza percorsa e massima durata di volo con e senza vento.
- Generalità sui sistemi propulsivi (3 ore): Turbogetto, turbofan, motoelica e turboelica.
- L'elica (4.5 ore): Principio di funzionamento, prestazioni, caratteristiche geometrico-costruttive, regolazione del passo ed impianti correlati.
- Utilizzo operativo dei sistemi propulsivi di interesse aeronautico (3 ore): Accensione e strumentazione di bordo.
- Le prestazioni del velivolo (4.5 ore): Spinta e potenza necessarie per il volo orizzontale. I regimi di salita. Involuppo di volo. Decollo e atterraggio. Autonomie orarie e chilometriche per velivolo turbogetto e motoelica.
- Equilibrio e stabilità statica longitudinale a comandi bloccati (7.5 ore): Condizioni di stabilità statica longitudinale. Equazione di equilibrio di momento, contributo delle varie parti del velivolo. Punto neutro del velivolo. Modi per realizzare l'equilibrio longitudinale del velivolo. Angolo dell'equilibratore necessario all'equilibrio longitudinale. Determinazione sperimentale della posizione del punto neutro del velivolo. Posizione limite anteriore del baricentro. Escursione necessaria dell'angolo dell'equilibratore. Requisiti relativi del comando longitudinale.
- Equilibrio e stabilità statica longitudinale a comandi liberi (6 ore): Punto neutro del velivolo a comandi liberi. Margine statico a comandi liberi e bloccati. Aletta correttiva. Determinazione sperimentale del punto neutro del velivolo a comandi liberi. Aletta compensatrice e compensazione aerodinamica. Sforzo di barra e condizioni di trim. Requisiti relativi del comando longitudinale.

Scheda insegnamento -> definitiva

- ATMOSFERA ①
- LE QUOTE ②
- CARATTERISTICHE FISICHE DELL'ARIA ④
- QUOTE BAROMETRICHE e ERRORI QUOTE e Z reale ③

$\gamma'$  = PESO SPECIFICO  $\left[ \frac{\text{kg}}{\text{m}^3} \right]$

$\frac{\rho}{\gamma'} = \frac{M}{M'}$  dalla legge di Avogadro  $\Rightarrow$  1 mole a  $p_0$  e  $T_0$  occupa  $V_0 = 22,415 \frac{\text{m}^3}{\text{mole}}$   
 (Note:  $p_0 = 1 \text{ ATM}$ ,  $T_0 = 0^\circ \text{C}$ )

Se prendo 28 kg di AZOTO in condizioni standard  $T_0$  e  $p_0$  ESSO occupa  $22,415 \text{ m}^3$ .  $\Rightarrow$  Qualsiasi gas perfetto, noto il suo peso molecolare, mi permette di calcolare il volume occupato.

$V_0$  = VOLUME SPECIFICO  $\left[ \frac{\text{m}^3}{\text{kg}} \right] = \frac{V_0}{M}$   
 (Note:  $\text{m}^3/\text{mole}$  and  $\text{kg}/\text{mole}$ )

$\gamma_0 = \frac{M}{V_0} = \frac{28}{22,415} = 1,29 \frac{\text{kg}}{\text{m}^3}$   $\leftarrow$  ARIA nelle condizioni ZERO PESA 1,29 kg A METRO CUBO!!

- LEGGE di BOYLE - MARIOTTE  $\rightarrow$  ISOTERMICA  $\rightarrow$  In condizioni di  $T = \text{costante}$  e  $p$  di un gas perfetto  $\propto \frac{1}{V}$ 
  - $t = \text{cost}$   $\Rightarrow$   $pV = p_0 V_0 = \text{cost}$
  - $\frac{p}{\gamma} = \frac{p_0}{\gamma_0} = \text{cost.}$

- EQ. STATO dei GAS PERFETTI :  $pV = RT$ 
  - $\boxed{pV = \frac{R}{M} T}$
  - $T = (t + 273,15) \text{ K}$  ( $T = \text{TEMP. ASSOLUTA}$ )
  - $R = \text{costante dei gas perfetti} \left[ \frac{\text{kg} \cdot \text{m}}{\text{mole} \cdot \text{K}} \right]$

$R = \frac{p_0 V_0}{T_0} = 867,8 \frac{\text{kg} \cdot \text{m}}{\text{mole} \cdot \text{K}}$

- L'ADIABATICA : VALE CHE I GAS CHE COMPONO L'ATMOSFERA SONO LONTANI DALLE CONDIZIONI CRITICHE. CAORE SPECIFICO MOLEARE A PRESS. COST.
  - $pV^k = p_0 V_0^k$
  - $k = \frac{C_p}{C_v}$  c.s.m. a volume costante
  - $k$  dipende dai gas! ( $k$  è minuscolo!!)
  - $k = 1,66$  MONOATOMICI
  - $k = 1,4$  BIATOMICI (ARIA)
  - $k = 1,33$  TRI e POLIATOMICI

- POLITROPICHE :  $pV^m = p_0 V_0^m$ 
  - $m$  ci dice quanto la nostra trasform. possa da isotermica  $m=1$  a adiabatica  $m=k$ .

LA LEGGE della POLITROPICA vale x trasformazioni reversibili x gas perfetti e reali!

$m = \text{ESPOLENTE (o NUMERO) CARATTERISTICO DELLA POLITROPICA}$

$$\epsilon_{\text{finale}} = \epsilon = \underbrace{\epsilon_0}_{\text{inizio}} + \underbrace{\sum \Delta \epsilon_m}_{\text{somme degli incrementi di quota}}$$

↑  
QUOTA VERA RAGGIUNTA DAL VEIVOLO

## CARATTERISTICHE FISICHE DELL'ARIA

Iniziamo a parlare di ATMOSFERA REALE e delle CURVE di STATO (che ci danno l'andamento di  $p$  e  $T$  in funzione della quota) (in particolare)

- $\rho$  = PESO SPECIFICO ARIA  $[\text{kg}/\text{m}^3]$  &  $[\text{N}/\text{m}^3]$ 

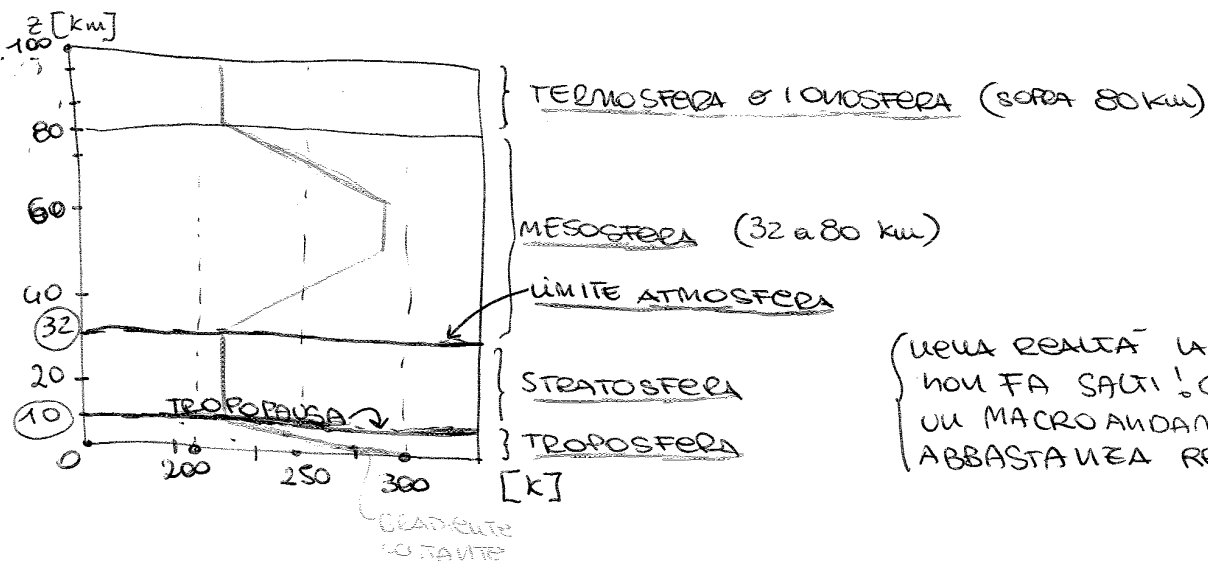
↑ PESO PER UNITA' di VOLUME
- $\rho$  = DENSITA' cioe' la massa  $[\frac{\text{kg} \cdot \text{g}^2}{\text{m}^4}] = [\frac{\text{kg} \cdot \text{m}}{\text{m}^3}] = [\text{kg} \cdot \frac{\text{m}}{\text{g}^2} \cdot \frac{\text{g}^2}{\text{m}} \cdot \frac{1}{\text{m}^3}] =$ 

↓ MASSA PER UNITA' di VOLUME      SISTEMA TECNICO      =      SISTEMA INTERNAZIONALE  
 ↑ CHILOGRAMMO MASSA
- $\text{kg}$  = CHILOGRAMMO PESO & FORZA       $\text{kg}_m$  = CHILOGRAMMO MASSA
 

↓ che ci sono nel SI (per chi siamo)

Se scrivo  $L = C_L \frac{1}{2} \rho V^2 S = [\text{N}]$

### NELL'ATMOSFERA REALE



MACRO ANDAMENTO DELLE TEMPERATURE

LA TROPOPAUSA DIVIDE LA TROPOSFERA DALLA STRATOSFERA.

NELLA MECCANICA DEL VOLO CHE ANNI EZEREMO NON SUPEREREMO IL LIMITE DELL'ATMOSFERA (32 km).

④

$$\left(\frac{dp}{p}\right) = - \frac{\rho}{R} \frac{dz}{T_0 - hz} = - \frac{\rho}{hR} \frac{d(T_0 - hz)}{T_0 - hz} = \left(\frac{\rho_0}{hR} \frac{d(T_0 - hz)}{T_0 - hz}\right) \quad (dT_0 = 0)$$

INTEGRO

TUTTO ciò che è COSTANTE

$$\int_0^z \frac{dp}{p} = m \int_0^z \frac{d(T_0 - hz)}{T_0 - hz}$$

$$m = \frac{\rho_0}{hR} \quad (\text{ADIMENSIONIALE})$$

NEL CASO DELL'ARIA  $m = \frac{29}{0,0065 \cdot 808} = 5,256$

$$\ln \frac{p}{p_0} = m \ln \left( \frac{T_0 - hz}{T_0} \right) \rightarrow \boxed{\frac{p}{p_0} = \left( \frac{T_0 - hz}{T_0} \right)^m}$$

(sapendo che  $T = T_0 - hz$ )  
 QUESTA È UNA POLITROPICA PERCHÉ DIVENTA

$$\boxed{\frac{p}{p_0} = \left( \frac{T}{T_0} \right)^{\frac{m}{m-1}}}$$

da cui  $m = \frac{m}{m-1} \Rightarrow m = \frac{\gamma}{m-1} = 1,235$

$$1 < m < \kappa$$

$$\frac{\gamma}{\gamma_0} = \frac{p}{p_0} \frac{T_0}{T} \Rightarrow \boxed{\frac{\gamma}{\gamma_0} = \left( \frac{T}{T_0} \right)^m \frac{T_0}{T} = \left( \frac{T}{T_0} \right)^{m-1}}$$

dove  $(m-1) = 4,2561$

06-03-2013

$$\left. \begin{aligned} p &= \gamma \frac{R}{h} T \\ p_0 &= \gamma_0 \frac{R}{h} T_0 \end{aligned} \right\} \Rightarrow \frac{p}{p_0} = \frac{\gamma}{\gamma_0} \frac{T}{T_0} \Rightarrow \boxed{\frac{\gamma}{\gamma_0} = \frac{p T_0}{p_0 T}}$$

È IMPORTANTE x CALCOLARE LA  $\gamma$  ALLA GENERICA QUOTA.

ALLA GENERICA QUOTA

$$\boxed{\gamma = \gamma_0 \frac{p T_0}{p_0 T}}$$

ALLA QUOTA di RIFERIMENTO

Riepiloghiamo quell che sono le caratteristiche dell'atmosfera:

• NELLA TROPOSTERA:

$$p_0 = 760 \text{ mm Hg} = 101325 \text{ Pa}$$

$$\gamma_0 = 12,027 \frac{\text{N}}{\text{m}^3}$$

$$\rho_0 = \frac{\gamma_0}{g} = 1,226 \frac{\text{kg}}{\text{m}^3} = 1,226 \frac{\text{N}}{\text{m}^3} \quad \left( \begin{array}{l} \text{CHIUSSURMI MASSA} \\ \text{ACC. GRAVITA} \end{array} \right)$$

$$T_0 = 288 \text{ K} \approx 15^\circ \text{C}$$



$$\Rightarrow \boxed{\frac{P}{P^*} = e^{-\left(\frac{z-z^*}{H^*}\right)}}$$

### LEGGE di HALLEY

↳ LEGA PRESSIONE e QUOTA nella STRATOSFERA !!

$$\frac{P}{\rho} = \frac{P^*}{\rho^*} \Rightarrow \frac{\rho}{\rho^*} = \frac{P}{P^*} = e^{-\left(\frac{z-z^*}{H^*}\right)}$$

con queste relazioni mi costruisco la tabella dell'ORIA TIR, cioè quella che in funzione della quota mi danno tutte le caratteristiche dell'ozia.

### • VISCOSITÀ CINEMATICA e DINAMICA

$$\mu \left[ \frac{kg}{m \cdot s} \right]$$

↑

DALLA LEGGE di NEWTON:

$$\tau = \mu \frac{dv}{dn}$$

FORZA TANGENZIALE x UNITÀ di SUPERFICIE che si SCAMBIANO CORPO e FLUIDO

$$\nu = \frac{\mu}{\rho} \left[ \frac{m^2}{s} \right]$$

LA VISCOSITÀ COSTITUISCE LA MISURA DELL'ATTRITO CHE SI OPpone ALLO SCORRIMENTO TRA DUE STRATI CONTIGUI di FLUIDO.

### • NUMERO REYNOLDS

$$Re = \frac{\rho v l}{\mu} = \frac{v l}{\nu}$$

IL Re è un PARAMETRO UTILIZZATO x STABILIRE LE CONDIZIONI di SIMILITUDINE.

SE = SEE LEVEL  $\Rightarrow z=0$

$\rho$  = DENSITÀ di RIFERIMENTO è in genere LA DENSITÀ MEDIA AERODINAMICA DELL'ARIA

### • QUOTE BAROMETRICHE

L'altimetro presente sul velivolo è un barometro che misura la pressione. Quelle che abbiamo sul velivolo sono le quote barometriche.

A noi non interessa avere l'indicazione di quota vera, ma ci bastano le quote barometriche.

L'altimetro sente una pressione e ci restituisce la QNE che ci fornisce le quote in piedi. (BAROMETRICA)

C'è una  $p_0 = 760 \text{ mm Hg}$   $\Rightarrow$  è a questa pressione che l'altimetro segue quota zero in seguito segue la CURVA di STATO che coincide con la CURVA ISA.

Le differenze di quota tra vera e barometrica dipende dalla diversità dell'andamento di  $p$  e  $T$  rispetto agli andamenti STANDARD.

### - ERRORI TRA QNE e ZVERA

Se a quota zero ho  $p_0' = p_0 \pm 20 \text{ mm Hg}$

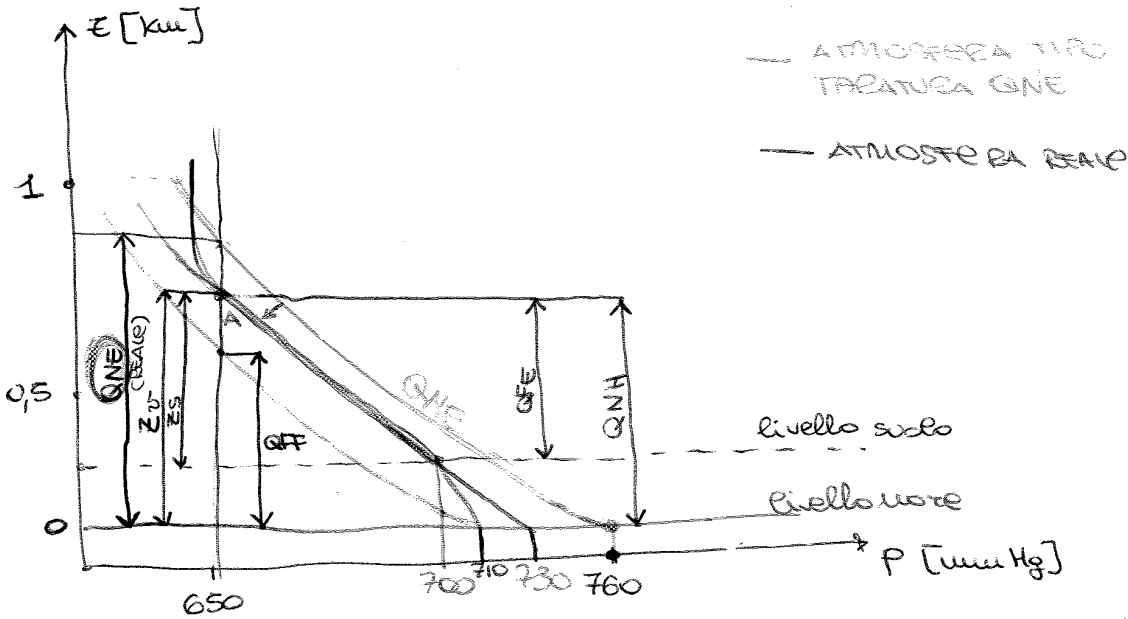
↑ VARIATIONE

(8)

07/03/2013

Stiamo parlando di errori nel calcolo delle pressioni scolate con la legge di variazione standard ISA, rispetto a quelle reali.

Prendiamo un pezzo di quote del grafico precedente:



$Z_v$  = QUOTA REALE  
 $Z_s$  = " AL SUOLO  
 QNE = QUOTA BAROMETRICA

— TARATURA  $Q_{FE}$  — nel punto A  
 TARATURA  $Q_{FE}$  e  $Q_{NH}$   
 ↑ RISPETTO AL SUOLO!      ↑ RISPETTO AL LIVELLO DEL MARE!

L'altimetro con taratura  $Q_{FE}$  mi porta a quota zero al suolo  
 la  $Q_{NH}$  mi segna zero al livello del mare.

se taro l'altimetro a 700 mmHg → "0" al suolo →  $Q_{FE}$   
 a 730 mmHg → "0" al livello del mare →  $Q_{NH}$

Esiste un'altra taratura — che prevede che superato il livello del suolo segua una legge diversa ⇒ taratura  $Q_{FF}$

a 710 mmHg → "0" al livello del mare →  $Q_{FF}$

- Al decollo / atterraggio uso la taratura  $Q_{FE}$ !
- Durante le fasi di volo uso la taratura  $Q_{NE}$ !

TRA ISA e REALE LE CURVE DI STATO SONO TENDENZIALMENTE ≠ DA QUELLE ISA.

$P = P(Z)$        $t = t(Z) \neq ISA$

L'ANEMOMETRO o tubo di PITOT ci permette di calcolare la pressione dinamica  $\frac{1}{2} \rho V^2$ .

Ma quale  $\rho$  dovremo usare?

LA TAS = TRUE AIR SPEED = VELOCITÀ VERA RISPETTO ALL'ARIA

EAS = EQUIVALENT AIR SPEED = " " RIFERITA ALLA DENSITÀ AL LIVELLO DEL MARE!

$$q = P_t^{\text{DINAM.}} - P_0^{\text{STATICA}} = \frac{1}{2} \rho (TAS)^2 = \frac{1}{2} \rho_0 (EAS)^2 = \frac{1}{2} \rho_0 V_{eq}^2$$

IAS = INDICATED AIR SPEED = VELOCITÀ RISPETTO ALL'ARIA CALCOLANDO IL DIFFERENZIALE  $\Delta p$  RIFERITA ALLA DENSITÀ AL LIVELLO DEL MARE A MENO DELL'ERRORE SPERIMENTALE  $(\Delta V)$  ERRORE di POSIZIONE DELLE PRESE STATICHE  $(\Delta V_p)$  E ERRORI dovuti AGLI EFFETTI DI COMPRESSIBILITÀ  $(\Delta V_c)$

$$IAS \approx EAS$$

$$\begin{cases} \Delta V_s = 0 \\ \Delta V_p = 0 \\ \Delta V_c = 0 \end{cases}$$

Il tubo di pitot è posizionato sul velivolo in modo che questi errori siano ridotti. Ciò è complicato dal fatto che gli errori sono dipendenti dalla configurazione di volo  $(\Delta V_p)$ .

Sapendo che la compressibilità sia trascurabile se  $M < 0,5$

In caso contrario bisogna tenerne conto!  $\Rightarrow (\rho \neq \text{cost})$

- ① → la velocità del flusso si è arrestata nel tubo di Pitot con una trasformazione ISOENTROPICA e ADIABATICA.
- ② →  $P_t$  deve essere REALE
- ③ →  $P_a$  " " "
- ④ →  $\rho$  " " " → dell'ARIA INDISTURBATA
- ⑤ →  $\rho$  sia costante con la VELOCITÀ.

Quella coccolata nella NOMENCLATURA CORRENTE è LA TRUE-AIR-SPEED =  $V_t = \text{TAS}$   $\Rightarrow V_t = \sqrt{\frac{2q}{\rho_a}}$  (1')

C'è bisogno che:  
 $q = P_t - P_a$  e che  $\rho = \rho_a$ ! Questo l'anemometro non lo fa DIRETTAMENTE!

Moltiplico e divido per  $\rho_0$ : ← VELOCITÀ EQUIVALENTE

$$V_t = \sqrt{\frac{2q}{\rho_a} \cdot \frac{\rho_0}{\rho_0}} = \sqrt{\frac{2q}{\rho_0}} \cdot \frac{1}{\sqrt{\delta}} = V_{eq} \frac{1}{\sqrt{\delta}}$$

con  $\delta = \frac{\rho_a}{\rho_0}$  (che sul libro di GÜLIERI è chiamato  $\sigma$ )

$$V_t = V_{eq} \frac{1}{\sqrt{\delta}} \Rightarrow V_{eq} = \sqrt{\frac{2q}{\rho_0}} = V_t \sqrt{\delta}$$

SIAMO ANCORA NEL CASO DI FUSO INCOMPRESSIBILE!

### ## Consideriamo ora il FUSO COMPRESSIBILE

Andiamo a integrare nuovamente l'eq. n° (1) di EULERO tenendo però conto che la pressione d'arresto, sempre generata da una compressione isentropica, non considero più  $\rho = \text{cost}$ . Andiamo comunque a ipotizzare un arresto adiabatico e isentropico!!

$$\Rightarrow \left[ \frac{P}{\rho^k} = \text{cost} \right] \quad (2) \quad \text{dove } k = \frac{C_p}{C_v} = 1,4 \rightarrow \text{BIATOMICA L'ARIA!}$$

OTTENIAMO L'EQ. DI BERNOULLI x FLUIDI INCOMPRESSIBILI:



ANDANDO A ELABORARE QUESTE ULTIME 3 EQUAZIONI RICAVIAMO L'EQ. DI REYLEIGH CHE LEGA  $\frac{P_T' - P_a}{P_a}$ :

$$\frac{P_T' - P_a}{P_a} = \left\{ 1 + \frac{k-1}{2} \left[ \frac{1 + \frac{k-1}{2} M_1^2}{k M_1^2 - \frac{k-1}{2}} \right] \right\}^{\frac{k}{k-1}} \cdot \left[ 1 + \frac{2k}{k+1} (M_1^2 - 1) \right]$$

(se scriviamo  $M = M_1 \rightarrow$  di volo)

$$\Rightarrow \frac{P_T' - P_a}{P_a} = \left\{ \frac{\left( \frac{k+1}{2} M_1^2 \right)^{\frac{k}{k-1}}}{\left( \frac{2k M_1^2 - (k-1)}{k+1} \right)^{\frac{1}{k-1}}} \right\} - 1$$

UNA SEMPLIFICAZIONE DELL'EQ. di REYLEIGH È:

$$\frac{P_T' - P_a}{P_a} = \frac{(1,2 M_1^2)^{3,5}}{(1,1667 M_1^2 - 0,1667)^{3,5}} - 1$$

→ SUPERSONICO con ISENTROPICA ADIABATICA A VALORI DELL'URTO NEL TUBO di PITOT

(6)  
↑

ANALOGA DELLA (5) DELLA PAGINA PRECEDENTE CHE HO VALEVA NEL SUBSONICO

(5) e (6) sono 2 RELAZIONI TRA  $\frac{P_T' - P_a}{P_a}$  e IL NUMERO di MACH

COME SI RILEVA IL n° MACH? DEVO AVERE UN RILIEVO DI PRESSIONE DIFFERENZIALE  $q_c = P_T - P_a$  OPPURE DEVO CALCOLORE UN  $P_T' - P_a$ . PER MISURE USO IN ENTRAMBI I CASI, SUBSONICO E SUPERSONICO, IL TUBO DI PITOT!

• CON LA (5) NOTO CHE POICHÉ VALE PER  $0 < M < 1$  OTTERREMO VALORI di  $\frac{q_c}{P_a}$  con  $0 < \frac{q_c}{P_a} < 0,8929$

• CON LA (6) NOTO CHE POICHÉ VALE PER  $M > 1$  OTTERREMO SEMPRE VALORI di  $\frac{q_c}{P_a} > 0,8929$

• LE STRUMENTAZIONI NOTO IL VALORE di  $\frac{q_c}{P_a}$  USANO LA (5) o la (6) E RICAVANO IL M CORRETTO !!

$$V_e = \sqrt{\frac{2k}{k-1} \frac{P_e}{\rho_0} \left[ \left( \frac{q_c}{P_a} + 1 \right)^{\frac{k-1}{k}} - 1 \right]} \quad (4'')$$

QUELLO CHE CAMBIA DALLA (4) È CHE  $P_a$  DIVENTA  $P_0$ !

$V_c$  È AFFETTA DAGLI ERRORI DI POSIZIONE E STRUMENTI!  
 PRESA LA  $V_c$  È DETTO CHE CONSIDERANDO GLI EFFETTI DELLA COMPRESSIBILITÀ  
 ARRIVIAMO ALLA  $V_e$ !

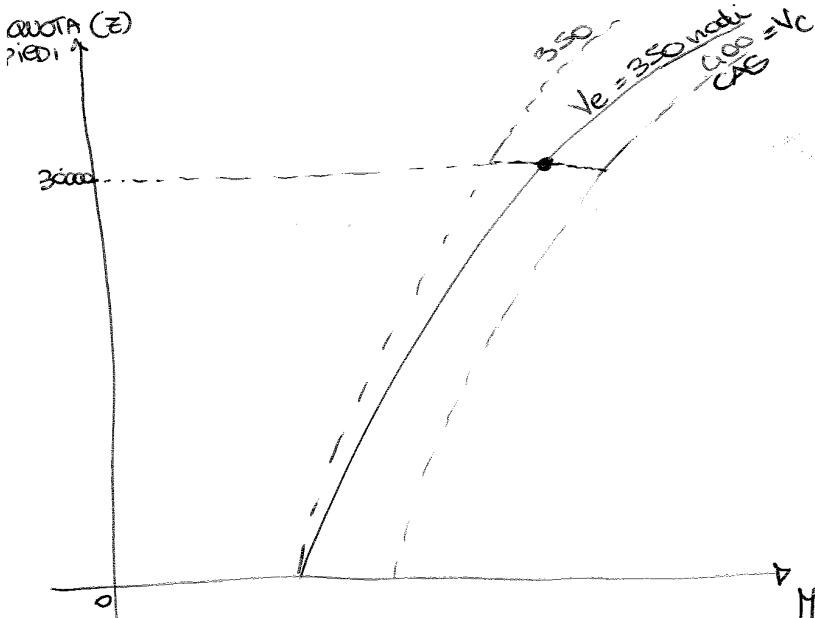
$V_c \neq V_e$  xché  $P_0 \neq P_a \Rightarrow$  TRA  $V_c$  E  $V_e$  HO TENUTO CONTO ANCHE  
 DEGLI ERRORI DI COMPRESSIBILITÀ.

In un primo momento avevamo supposto che  $V_e = V_i$   
 xché considerando il fluido incompressibile scrivendo:  
 $V_i = V_e \sqrt{\delta}$ .  $\Rightarrow$  Non avevamo tenuto conto degli errori di  
 posizione, strumento e compressibilità dell'aria.  $\Rightarrow$  EQ. BERNOULLI  
 x FLUIDO  
 COMPRESSIBILE

Noi per ottenere la velocità CORRETTA dobbiamo atterre alla  $q_c$

- devo definire:
1. QUOTA BARICA  $\rightarrow$  cioè  $P_a$
  2. TEMPERATURA STATICA  $\rightarrow$  cioè  $T_a$
  3. TIPO DI TRASFORMAZIONE DI ARRESTO  $\rightarrow$  cioè SUBSONICO o SUPERSONICO.

con 1 + 3  $\Rightarrow$  RICAVO  $M$  + 2  $\Rightarrow T_a$  sulla velocità del suono ricavato per  $V_t$ .



Si nota che in base alle  
 velocità prese in considerazione  
 cambiano di molto.

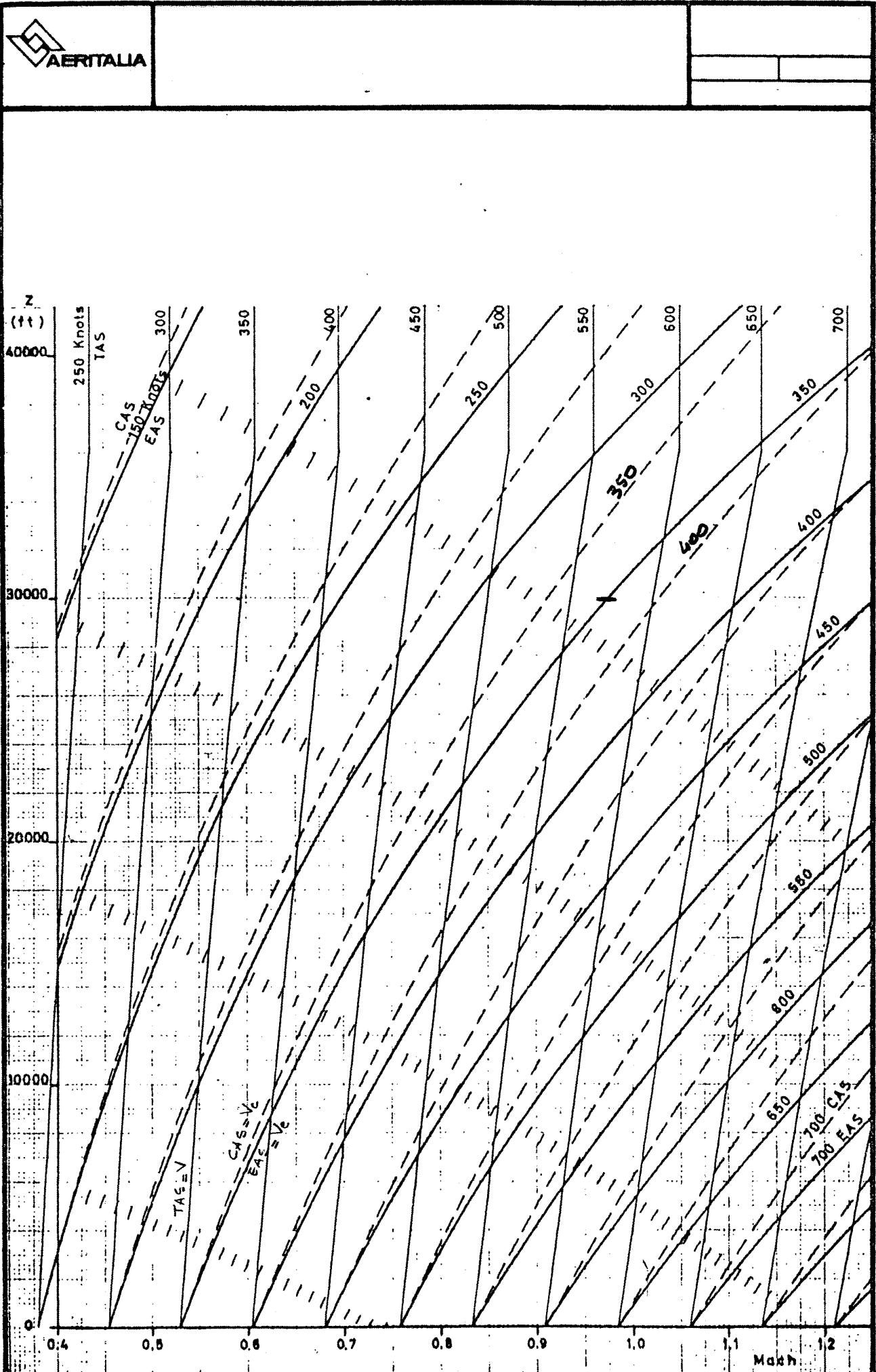
A quota zero x ogni Mach  
 le 3 velocità vanno a coincidere:

- $V_{vera} = V_e = V_c \neq V_i$
- $V_i$  dipende dal veicolo

TABELLA 2-A - COMPOSIZIONE DELL'ARIA ATMOSFERICA SECCA

<i>Costituente</i>	<i>Formula</i>	<i>Peso Molecolare</i>	<i>% in volume</i>	<i>% in peso</i>
Azoto	N <sub>2</sub>	28,016	78,09	75,5
Ossigeno	O <sub>2</sub>	32,000	20,95	23,1
Argon	A	39,944	0,93	1,28
Anidride Carbonica	CO <sub>2</sub>	44,010	0,03	-
Neon	Ne	20,183	$1,8 \times 10^{-3}$	-
Elio	He	4,003	$5,24 \times 10^{-4}$	-
Kripton	Kt	83,7	$1,0 \times 10^{-4}$	-
Idrogeno	H <sub>2</sub>	2,016	$5,0 \times 10^{-5}$	-
Xenon	Xe	131,3	$8,0 \times 10^{-6}$	-
Ozono	O <sub>3</sub>	48,000	$1,0 \times 10^{-6}$	-
Radon	Rn	222	$6,0 \times 10^{-18}$	-





l'angolo di decapota in modo che il vento non è più contenuto nel piano di simmetria.

# RICHIAMI DI AERODINAMICA ③ 14-03-2013

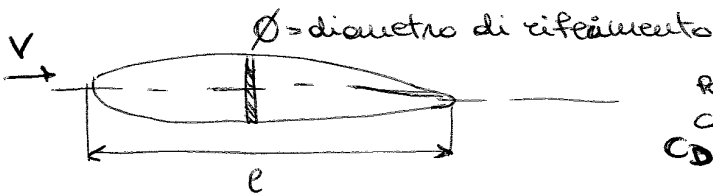
Vogliamo andare a definire le prestazioni del velivolo andando a definire  $C_L$  e  $C_D$ .

Se metto un modello in galleria del vento misurando  $L$  e  $D$  ricavo  $C_L$  e  $C_D$ .

ovviamente se sono noti  $C_L$  e  $C_D$  faccio il passaggio inverso ricavando  $L$  e  $D$ . È questo passaggio che a noi interessa!!

Per calcolare  $C_L$  e  $C_D$  si parte dalla sovrapposizione degli effetti.

Per prima cosa considero la fusoliera come un corpo affusolato asside-simmetrico:

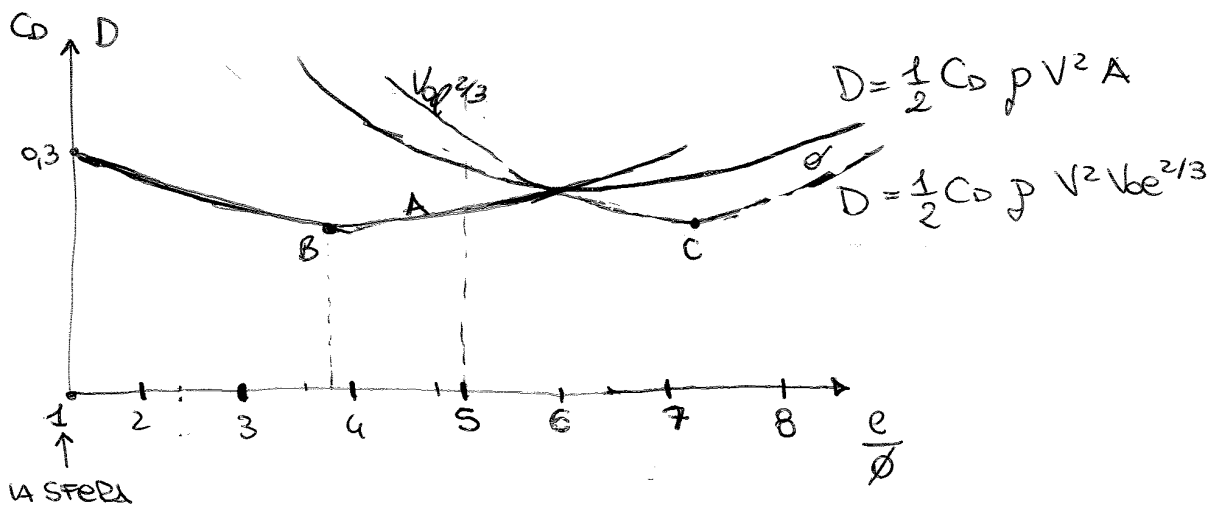


SUPERFICIA DI RIF. del FUSO:

POSSO CALCOLARE  $C_D$  RISPETTO A

$$\left. \begin{aligned} A &= \frac{\phi^2 \pi}{4} \\ V &\propto e^{2/3} \end{aligned} \right\} \begin{aligned} &\text{SEZIONE MAESTRA} \\ &\text{DISLOCAMENTO ALLA } \frac{2}{3} \end{aligned}$$

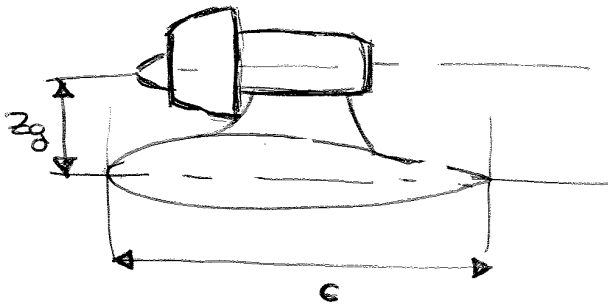
Rispetto a una lamina piana di lunghezza  $e$  questo corpo affusolato ha una resistenza minore.



se  $e/\phi = 5$  esiste un unico valore di  $C_D$  reale.

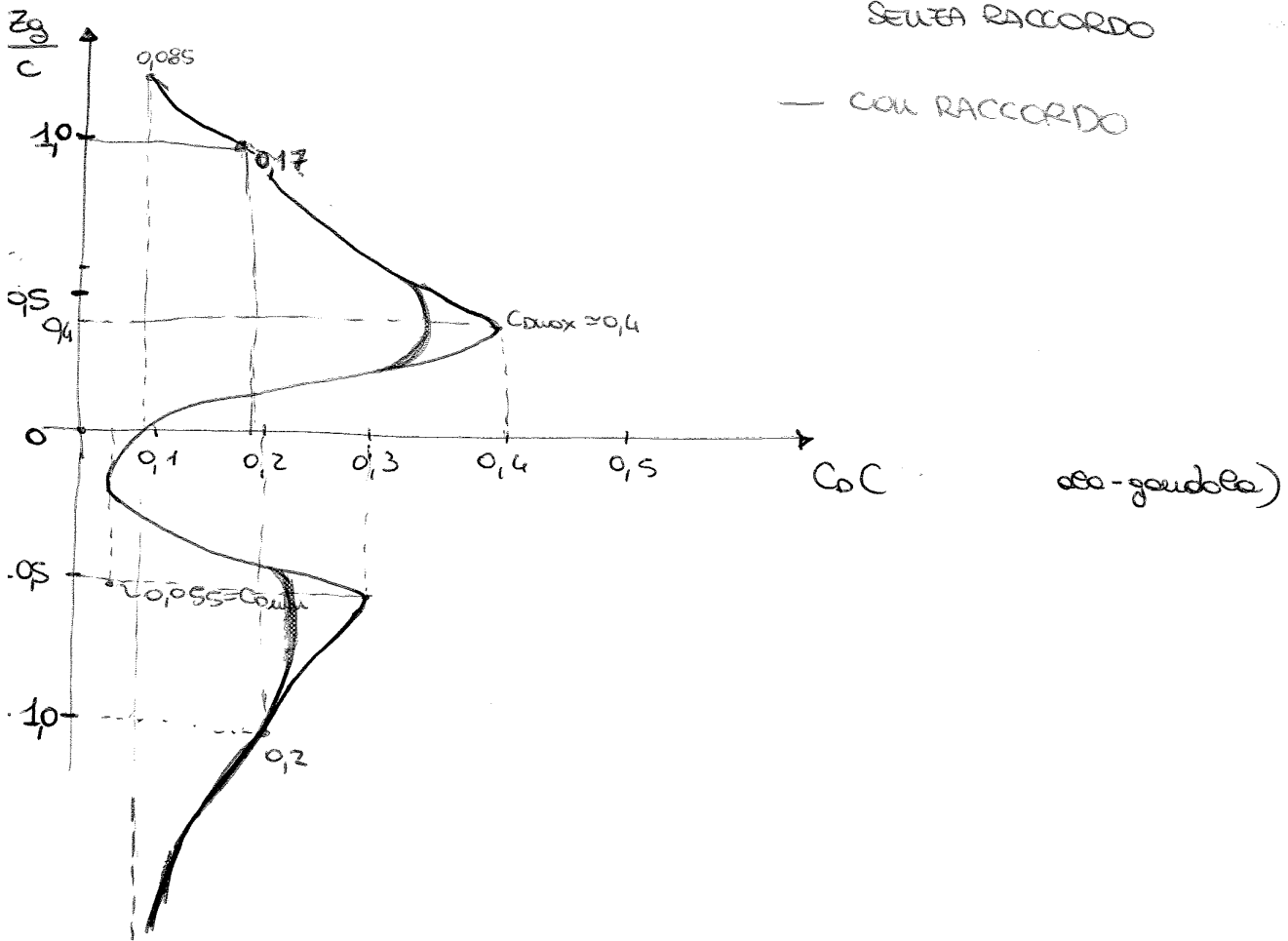
ovviamente questo  $\Rightarrow C_D V e^{2/3} \propto V^{2/3} = C_{D_A} \cdot A$

Supponiamo di avere una sezione alare con una gabbia motrice in corrispondenza.



CORDA LOCALE = c

distanza gabbia da ala =  $z_g$



Per un velivolo classico noi abbiamo un  $C_{D0} = 0,020$  del velivolo completo riferito alla superficie alare.

di portante viene non per forza // alla corda.

in genere:

$$\left\{ \begin{array}{l} \frac{f}{c} = \text{max incurvamento} \\ \frac{x_f}{c} = \text{Ascissa \% del max incurvamento} \\ \frac{t}{c} = \text{spessore max relativo} \\ \frac{x_t}{c} = \text{Ascissa \% dello spessore max relativo} \end{array} \right.$$

Il generico profilo con incurvamento e spessore lo vediamo come la somma di lamina piano + lamina curva + lamina con spessore  
simmetrico.



## I PROFILI NACA\*

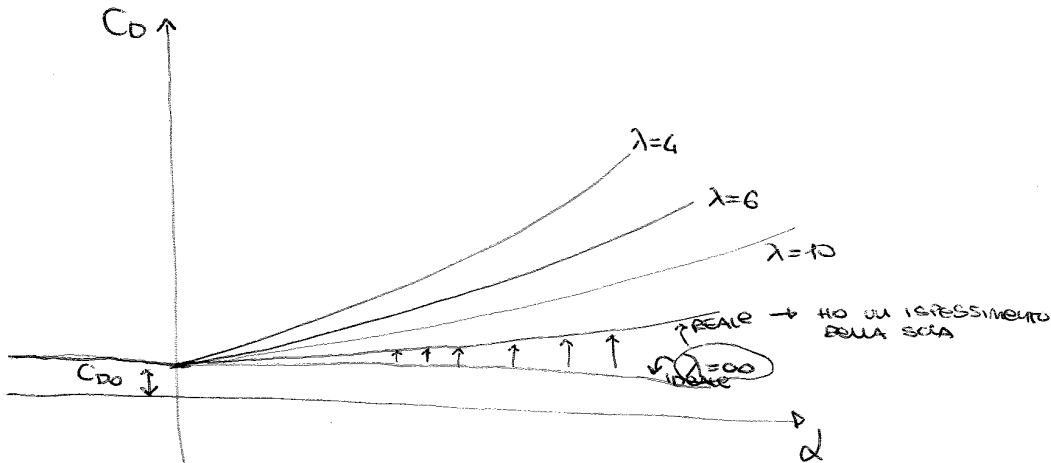
- Se sono a 4 cifre → NACA 2412  
Linea d'asse sono in genere 2 ARCHI di PARABOLA o 4 ARCO di CERCHIO o + UN ALTRO ARCO o UN'ALTRA RETTA!

$$\left\{ \begin{array}{l} \frac{t}{c} = 12 \% \rightarrow \text{ci dice quanto è spesso il profilo} \\ \frac{f_{\text{max}}}{c} = 0,02 \\ \frac{x_f}{c} = 0,4 \end{array} \right.$$

con le 4 cifre non conosco  $\frac{x_t}{c}$  che in genere  $x_0$  è  $\frac{x_t}{c} = 0,3$   
un po' dietro al fuoco!

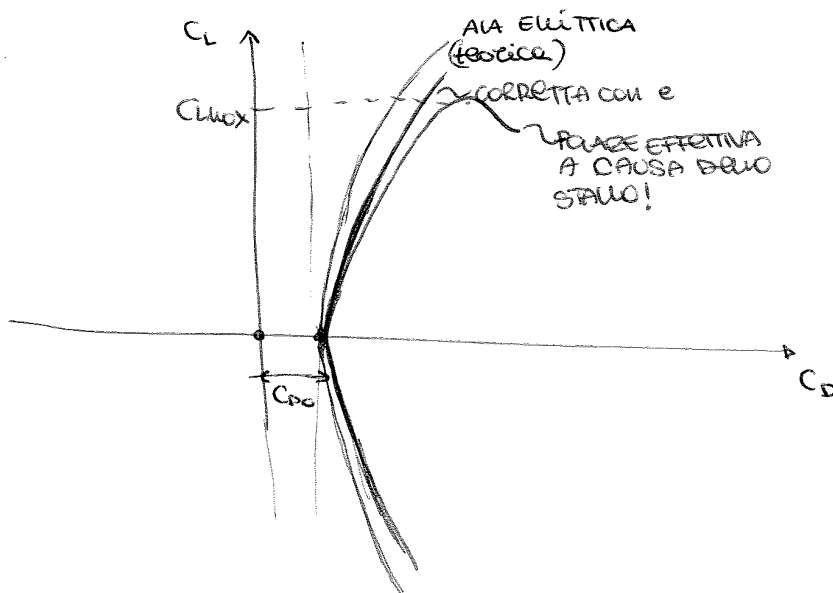
- Se sono a 5 cifre: NACA 23015  
(Linea d'asse è una parabola cubica + zetta o un'altra parabola)  
 $\frac{f_{\text{max}}}{c} = 0,02$   
 $30 = 200 \frac{x_t}{c}$   
 $\frac{t}{c} = 0,15$   
 $x_t = 0,15c$

Nella realtà se posto  $C_D = f(\alpha)$



NB non è detto che ho  $C_{D0}$  dove  $\alpha=0$  !!

L'Alveoopp sulla polare vera e propria:



NB Non è detto che  $C_{D0}$  è dove  $C_L=0$  !!

SE PRENDO UN PROFILO CON MARCAMENTO non ho  $C_{Dmin}$  se ho  $C_L=0$   
 PER AVERE LE  $C_{Dmin}$  devo avere un piccolo  $C_L$  !!

Se non ho ala ellittica  $C_D = C_{D0} + \frac{C_L^2}{\pi \lambda} i + k \frac{C_L^2}{\pi \lambda}$   
 $i > 1 \rightarrow$  x Au non ellittiche  
 { tiene conto dell'inspessimento della scia  $\rightarrow$  c'è anche se  $\lambda = \infty$

$$C_D = C_{D0} + \frac{C_L^2}{\pi \lambda} (i + \pi \lambda k)$$

$$e = \text{FATTORE di OSTWALD} = \frac{1}{i + \pi \lambda k} \Rightarrow 0,75 < e < 0,95$$

Allo fine noi useremo  $C_D = C_{D0} + \frac{C_L^2}{e \pi \lambda}$

20-03-2013

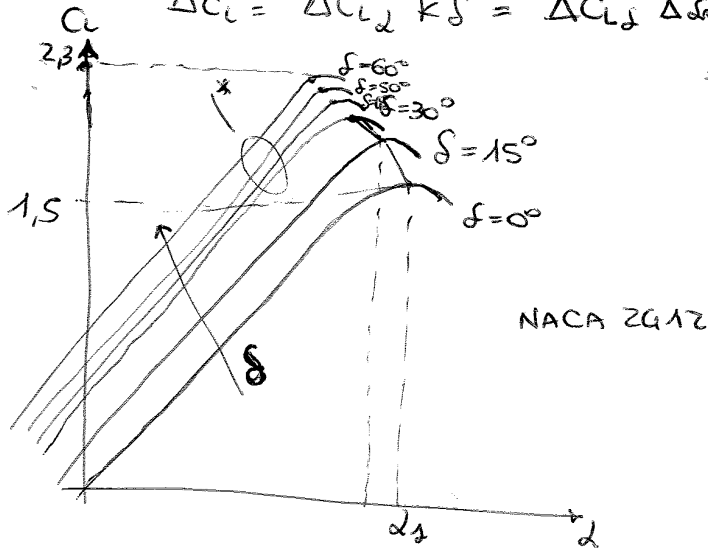
Avremmo visto che con l'ipers. B.F. ho un innalzamento delle curve  $C_L$ - $\alpha$  con piccola traslazione a sinistra.

Quello che succederà se l'impermeaggio orizzontale sarà qualcosa di analogo al fenomeno visto.

Continuiamo calcolando:  $\Delta C_L$  è dovuta alla variazione di  $\alpha = \Delta \alpha$

VARIAZIONE DEL  $C_L$  È DOVUTA ALLA VARIAZIONE DI  $\alpha = \Delta \alpha$   
 ← IN RADIANTI!!

$$\Delta C_L = \Delta C_{L\alpha} k \delta = \Delta C_{L\alpha} \Delta \alpha$$



\* VARIANDO  $\alpha$  ANGOLI GRANDI NON OTTIENGO PIU' TUTTO QUESTO BENEFICIO!!  
 LA DISTANZA DIMINUISCE!!

oltre ad  $\Delta C_L$  OTTIENIAMO ANCHE UN  $\Delta C_{D0}$  nei bordi di fuga:

$$\Delta C_{D0} = \frac{C_L}{C_D} \sin^2 \delta$$

$$\Delta C_{H0} = -H \sin \delta$$

con  $H = 1,30 \left( \sqrt{\frac{C_L}{C_D}} - \frac{C_L}{C_D} \right)^*$

con  $\frac{C_L}{C_D} \cos \delta$

• DEFLETTORE A SPACCO →

SPLIT FLAP



nei DEF. a SPACCO  $\xi = 1$



⇒ C'È UNA VOLTURA DELLA CORDA  $\frac{\Delta C}{C}$  SI SPosta E SI INCLINA!

• ALETTA ZAP → ZAP FLAP

↳ con questa è molto evidente l'abbassamento dello stallo

• ALETTA FOWLER → FOWLER FLAP

↳ class. stallo è molto attenuato



SOFFIO CHE RITARDA IL DISTACCO

• ALETTA A FESSURA → SNOT FLAP



FUSSO D'ARIA ETARDA LO STALLO

RUOTA L'ASSE DI PORTANZA MANTENENDO + INCREMENTO LA SUPERFICIE  
 ⇒  $C_L$  PUO' ANCHE RADDOPPIARE

$$C_{D_{EMOX}} = C_{D0} + \frac{C_{D0} e \pi \lambda}{e \pi \lambda} = \underline{\underline{2 C_{D0}}}$$

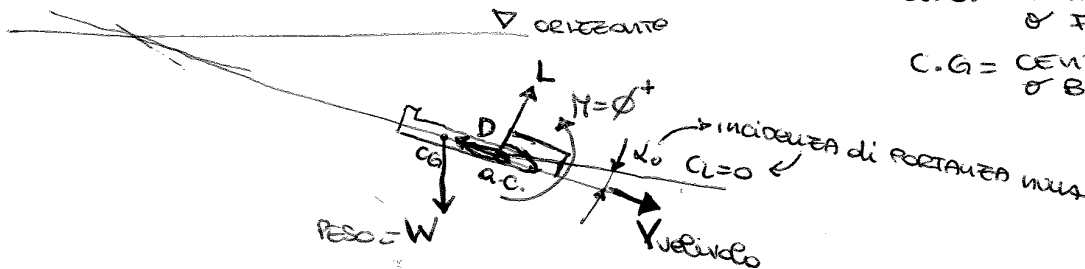
$$E_{MAX} = \frac{\sqrt{e \pi \lambda C_{D0}}}{2 C_{D0}} = \sqrt{\frac{e \pi \lambda}{4 C_{D0}}}$$

Tutto ciò è vero se considero valida la relazione quadratiche!

## 4) VOLO LIBRATO \*

- ALIANTE SENZA MOTORE che cerca di ridurre molto  $C_{D0}$  e aumentare di molto  $\lambda$  ( $\Rightarrow$  ALI MOTO UNBHE)
- NEL VOLO LIBRATO IO VOGLIO AVERE EFFICIENZA MASSIMA PERCHÉ CIESCO A SCENDERE con angolo di discesa  $\gamma$  molto piccolo.

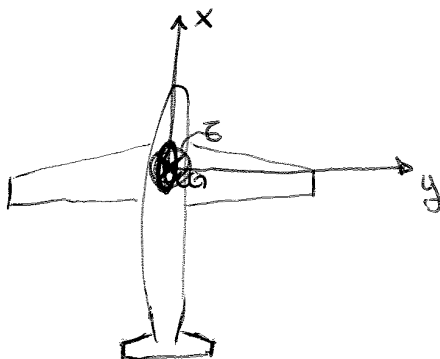
Il volo librato può avvenire solo in discesa se ho aria calma (privo di correnti ascensionali)!



a.c. = CENTRO AERODINAMICO  
& FUOCO DELL'ALA

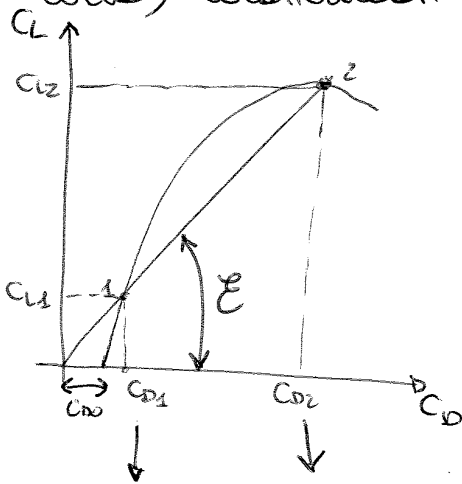
C.G. = CENTRO GRAVITAZIONE  
& BARICENTRO

Sue velivolo il momento è positivo quando è assente manostante o se si muove!



z è ENTRANTE ⊗

In generale (rifacciamo la potenza) se noi prendiamo un certo  $\gamma$  e abbiamo 2 punti di intersezione (ho  $E_{max}$  se sono  $\gamma_{opt}$  delle curve) caratterizzati entrambi dalla stessa efficienza  $E = \frac{C_L}{C_D}$



↓  
 hanno stesso angolo di discesa  $\gamma$  quindi io posso scegliere due velocità di discesa per uno stesso angolo.

$$\frac{C_{L1}}{C_{D1}} = \frac{C_{L2}}{C_{D2}} = E_1 = E_2$$

Velocità alta      Velocità bassa

$$C_{L1} < C_{L2}$$

$$L_1 < L_2 \Rightarrow L_1 \text{ volo più veloce!!}$$

21-03-2013

Se l'angolo di discesa non è quello minimo di discesa ho un valore di efficienza  $\neq$  da quella massima.

Se  $\gamma \neq \gamma_{min}$  ho 2 possibilità di discesa: veloce e lenta.

ESERCITAZIONE 1 → volo LIBERATO

1.1.)

	Boeing 747	Aerobus
$\lambda$	7	30
$C_{D0}$	0,016	0,012
$e$	0,85	0,90

CALCOLARE:  
 a)  $E_{max}$   
 b)  $C_{L_{E_{max}}}$   
 c)  $\gamma_{min}$

$$C_{L_{E_{max}}} = \sqrt{e \pi \lambda C_{D0}}$$

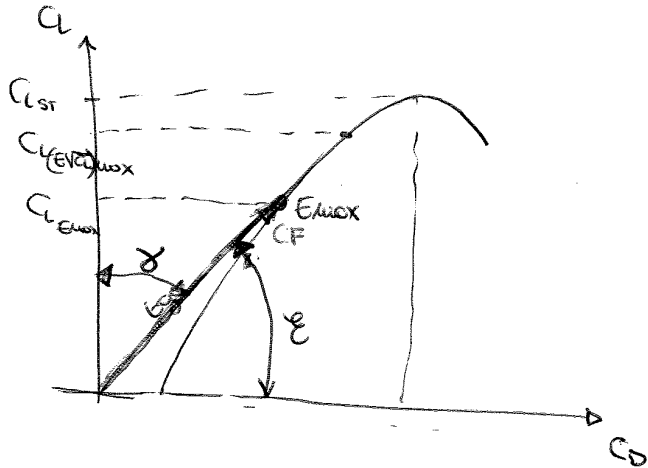
$$E_{max} = \sqrt{\frac{e \pi \lambda}{4 C_{D0}}}$$

$$\gamma_{min} = \arctg \left( \frac{1}{E_{max}} \right)$$



$$(EVC\alpha)_{\max} = \frac{C_L^{3/2}}{C_D} (EVC\alpha)_{\max} = \frac{(3e\pi\lambda C_{D0})^{3/4}}{4 C_{D0}}$$

Preso una portanza qualsiasi:



$$\gamma = 90^\circ - \epsilon$$

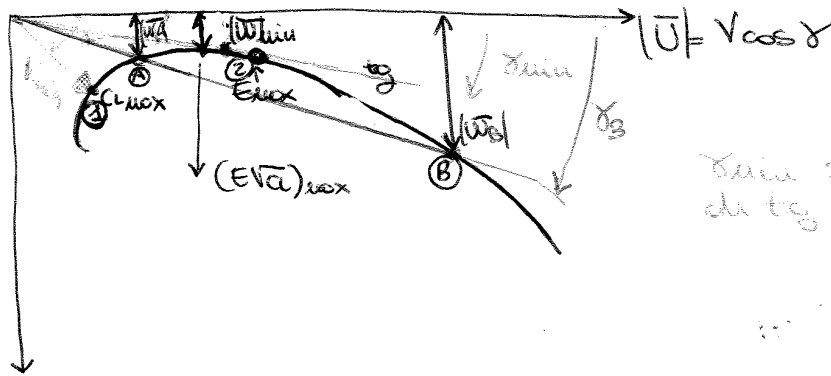
$$\frac{C_L}{C_D} = E = \frac{1}{\tan \gamma}$$

$$C_L = C_D \tan \gamma$$

c.v.d.

### ODOGRAFA DEL MOTO \* (SOLO LIBERATO)

↳ è PARABOLA DELLA VELOCITÀ



$\gamma_{\min}$  si trova nel punto di  $tg$

$$|W| = V \sin \gamma$$

Posso disegnare una curva i cui punti sono gli estremi delle punte dei vettori della velocità di volo.

I raggi uscenti dall'origine  $\rightarrow$  sono vettori che definiscono la velocità di discesa e  $\gamma$  di discesa.

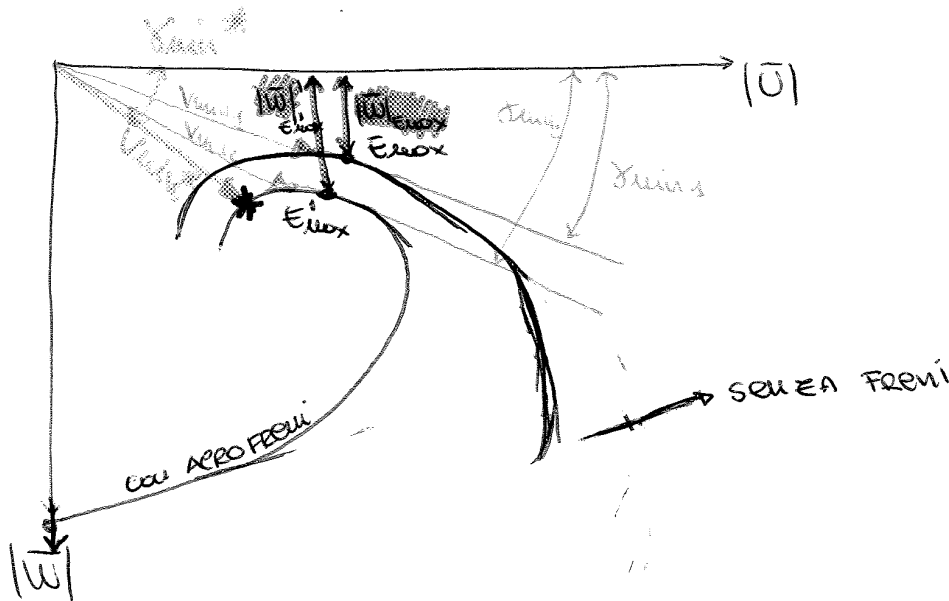
$\gamma_{\min}$  si trova dove c'è la retta  $tg$  che identifica il punto con velocità con  $\gamma_{\min}$ .

Se voglio scendere stando + tempo possibile in quota devo volare nel punto A di  $C_{L\max}$ .

Si nota che a parità di  $C_L$  e alianti la variazione di peso modifica la velocità: se ho un pilota o 2 nel primo caso raggiunge lo stesso punto con lo stesso  $\gamma_{min}$  ma con una velocità inferiore!

## EFFETTO DEI FRENI AERODINAMICI \*

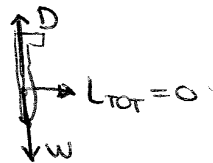
Sugli alianti in avvicinamento si estraggono l'energia per aumentare l'angolo di discesa e cercando di contenere la velocità di volo.



Se ho il mio velivolo in picchiata

$D = D_0$  perché  $C_L = 0$  e vale nel caso ideale

$\Rightarrow D_0 = W$  perché PESO



Velocità di picchiata con  $\gamma_{min} = 0$  ?

$C_{D0\text{ ALIANTE}} = 0,012$  se  $W = 3000\text{ N}$

La velocità viene supersonica  $\Rightarrow$  se dovessi continuare l'olografo esse tenderebbe verso sinistra fino a toccare l'asse  $|\bar{u}|$ .

I freni uscano a evitare in picchiata di raggiungere velocità



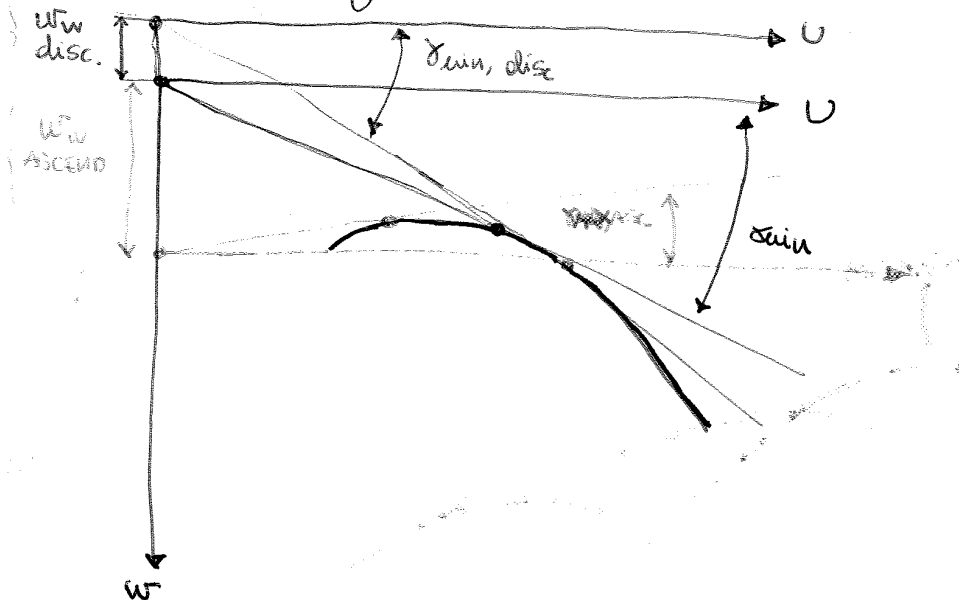
Questo significa che se ho vento in poppa e ho della ZAVORRA a bordo mi conviene alleggerire le velivolo!!

Nella situazione di vento in PRUA, ho vento contro  $\Rightarrow \gamma_{min_3}$  cresce rispetto al  $\gamma_{min_1}$  della curva A !!

Se io messi peso maggiore otterrei la curva C!  $\Rightarrow$  Quello che era  $\gamma_{min_3}$  diventa  $\gamma_{min_1}$  con vento in PRUA e PIU PESO.

Chiaro che la velocità rispetto al tempo cambiano con  $\sqrt{W}$  peso se vedo il  $\gamma$  di discesa  $\downarrow$ .

Analogamente andiamo a vedere con la componente ASCENDENTE o DISCENDENTE; Ridisegno l'ODOGRAFIA BASE:



- $Ww$  discendente SPOSTA IN ALTO L'ASSE U
- $Ww \Rightarrow \downarrow U$  ASC. NEL CASO ASCENDENTE HO UN  $\gamma$  CHE DIVENTA max.

Se spostassimo di nuovo automaticamente le potenze con il peso noteremo che con un  $Ww$  disc  $\Rightarrow$  conviene AVERE un PESO MAGGIORE; con un  $Ww$  ASC  $\Rightarrow$  conviene avere un PESO MINORE!

Ho nuovamente la situazione in cui se ho vento ASCENDENTE alleggerendomi della zavorra ottimizzo l'ASCENSA.

Se non c'è vento è fatto di avere un diante più pesante ma modifica il  $\gamma_{min}$ , quello che modifica è la velocità  $\Rightarrow$  la traiettoria un velivolo PIU PESANTE LA PERCORRE A UNA VELOCITA' MAGGIORE!

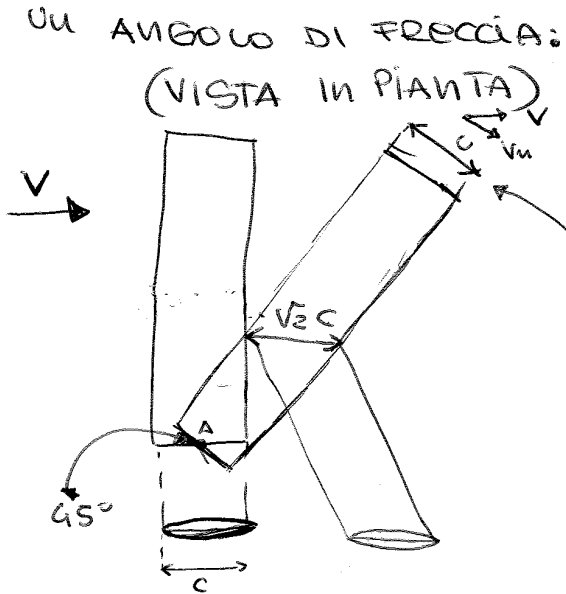
Nei velivoli senza motore si sfruttano le correnti ascendenti per rimanere in volo ed ottenere i record!

- NEUTRE AL DISOTTO DI  $M=0,5$  HO GLI EFFETTI DI  $Re$  CHE FANNO RISAURE IL  $C_D$  RISPETTO AL  $C_{D0,5}$  QUANDO MI SPOSTO A  $M > 0,5$  CAMBIA LA SITUAZIONE.

•  $\alpha$  È L'ANGOLO DI FRECCIA DELL'ALA

↳ ANGOLO CHE LA LINEA FOCIALE FORMA CON UN ASSE // ALL'ASSE.

- ANDANDO AD AUMENTARE  $\alpha$  I MASSIMI  $C_L$  HO PER  $M$  PIÙ ALTI E VALORI DI  $C_D$  CHE CROCCIANO E SI VANNO A STABILIZZARE A UN VALORE DI  $C_D$  SEMPRE + BASSO ALL'AUMENTARE DI  $\alpha$ .  
 ⇒ È UTILE DARE ALL'ALA UN  $\alpha$  !!
- SE AVESSI UNA LAMINA PIANA AVERE  $M_{critico} = 1$ , QUESTO CI FA CAPIRE CHE PROFILI SOXSOLICI DEVONO ESSERE ASSOTTIGLIATI.
- SE DEVO ASSOTTIGLIARE MOLTO I PROFILI È + COMODO AVERE UN ANGOLO DI FRECCIA:



IMMAGINO CHE L'ALA SIA INVESTITA DA  $V // A C$ .

• ROTANDO DI UN ANGOLO DI  $45^\circ$  NEL PUNTO A ⇒  $\alpha = 45^\circ$  MANTENGO LA STESSA CORDA  $c$  ⇒ LA CORDA VISTA DAL FLUSSO DIVENTA  $\sqrt{2}c$

⇒ È COME SE AVESSI DISEGNATO UN PROFILO MOLTO + ALLUNGATO IN CUI LO SPESSORE MAX RISULTA ARRETRATO.

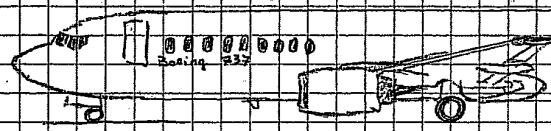
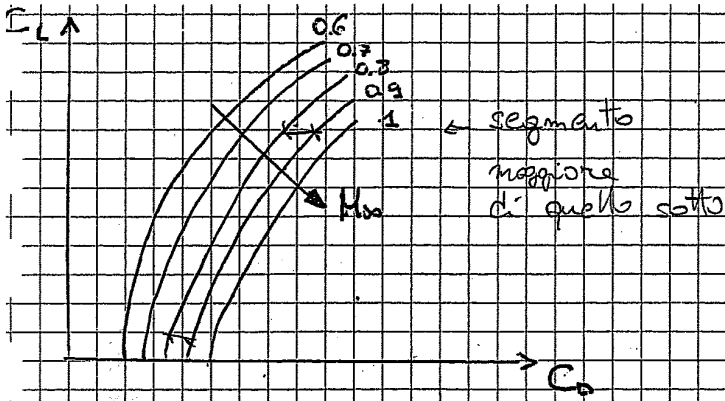
SE VOGLIO DIMINUIRE LO SPESSORE % MANTENENDO LA RIGIDEZZA STRUTTURALE CONVIENE FARE L'ALA ... A FRECCIA

con  $V_m$  INDICO LA COMPONENTE DI VELOCITÀ NORMALE ALL'ALA RIFERITA RISPETTO ALLA  $V_m$  di  $\alpha=0$  È:

$$\frac{V_m}{V_{m(\alpha=0)}} = \cos \alpha$$

$V_{m(\alpha=0)} \leftarrow V_{\infty}$

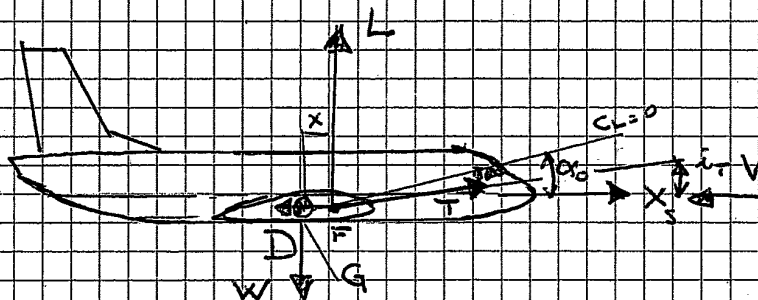
- $V_m$  È LA VELOCITÀ CHE COLTA AI FIANCHI DEL MACH.
- SPERIMENTALMENTE SI È VISTO CHE SE IO INDIVIDUO UN PUNTO SULLA CURVA CARATTERIZZATA DA  $\alpha=0$  A UN MACH LEGGERMENTE INFERIORE A 1 CHE CHIAMO (H), QUESTO PUNTO VIENE AD AVERE UN PUNTO CORRISPETTIVO (H') CHE PUÒ ESSERE VISTO COME UNO SHIFT



Effetti Termici :

la portata di  $C_L$ ,  $(C_{D_{0.9}} - C_{D_{0.3}}) > (C_{D_{0.3}} - C_{D_{0.1}})$

## VOLO RETTILINEO \*



$x$ : ASSE CORPO

$x_s$  è definito se sono definite  $w$  e  $\alpha$

$x_s$ : ASSE DI STABILITÀ

ASSE DI SPINTA: non è // all'asse corpo

~~del~~ ANGOLO  $i_T$  → ANGOLO DI CALETTAMENTO DELLA SPINTA ( $i$  = incidence)

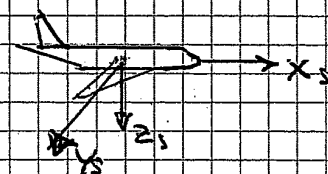
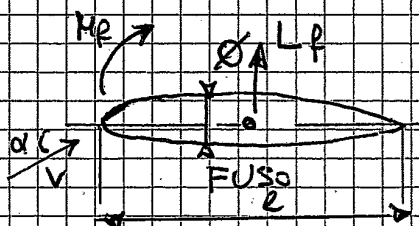
1)  $L + T \sin i_T = W$

→  $T \cos i_T = D$

Terna di assi BARICENTRICO DI STABILITÀ:  $x_s, y_s, z_s$

TERNIA DESTROSA

2)  $L \cdot x = M$  (coda, ala, resistenza spinta, fusoliera)



MOMENTO FUSO: CABRANTE

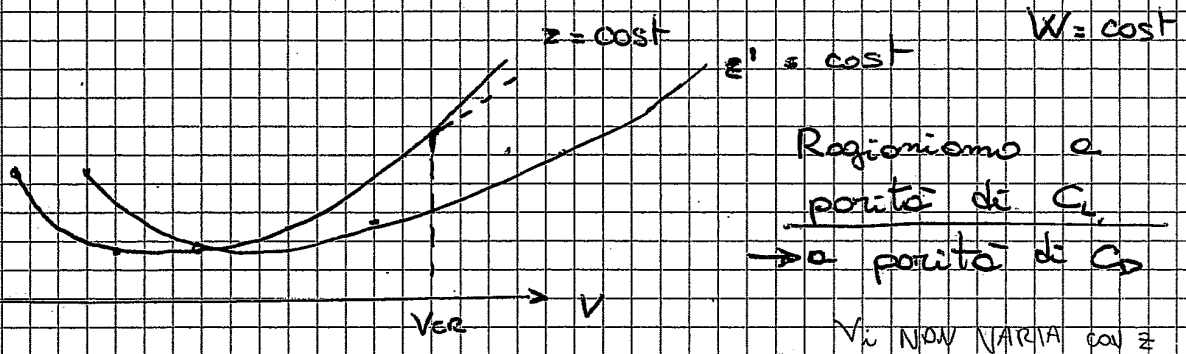
MOMENTO FOCALIA ALLA INARCA. POSITIVO: PICCHIANTE

$$V_i = \text{cost}$$

$$V_i = \sqrt{\frac{W}{\rho S}} = \sqrt{\frac{W}{\rho S}} \rightarrow V = V_i \cdot \frac{1}{\sqrt{\sigma}} \rightarrow \text{AUMENTA CON } \sigma \uparrow$$

$$D_1 = T_m$$

TAS EAS



$$D = \frac{L}{E} = \frac{W}{E} = \frac{1}{2} \rho_0 V_i^2 C_D S$$

Se volo a  $z' > z$

~~DEF.~~ OMOTETICA → TRASLAZIONE!!

A PARITÀ DI ORDINATA SI MOLTIPLICA OGNI ASCISSA PER  $\frac{1}{\sqrt{\sigma}}$

$M_{Max}$  rimane INVARIATO ⇒ il valore di  $z$

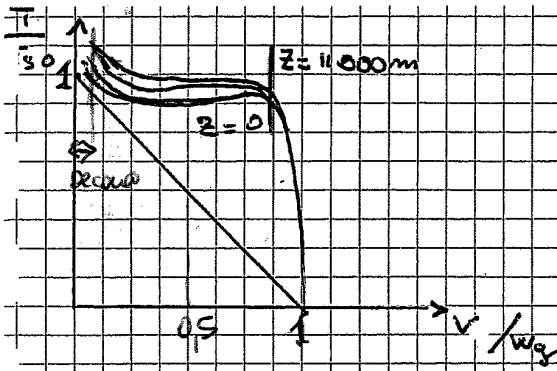
$$C = \sqrt{\frac{W}{\rho S}} \quad C \propto \sqrt{\frac{W}{\rho S}} \Rightarrow \begin{matrix} z \uparrow \\ C \downarrow \end{matrix}$$

⇒ A PARITÀ DI  $M_{Max}$  se  $C \downarrow \rightarrow V_{oc} \downarrow$   
 $M = \frac{V}{c}$

Vorrendo  $z$  per realizzare lo stesso  $C_L$  il termine  $\frac{1}{2} \rho V^2$   
 $C_L = \frac{W/S}{\frac{1}{2} \rho V^2}$  deve rimanere INVARIATO! →  $z \uparrow ; \rho \downarrow \Rightarrow V \uparrow$

Quindi a parità di  $C_L$  (quindi anche di  $C_D$ ) la  $T_m = \frac{W}{E}$  è invariata. Cosa cambia?

LA SPINTA NECESSARIA PER VOLARE A UNA CERTA VELOCITÀ:  
A PARITÀ DI VELOCITÀ È RICHIESTA MENO SPINTA!!



A basse  $V$  si ha un aumento di portata a seguito della compressione dell'aria nella presa d'aria.  $m$  non può crescere oltre un certo limite  $\propto k$  se no poi si ingolfa il tutto (choking)

$$\chi_1(V, z) = 1 - \frac{V}{w_{g0}} + \frac{\frac{1}{2} \rho V^2}{p} \left[ 1 - \left( \frac{V}{w_{g0}} \right)^4 \right]$$

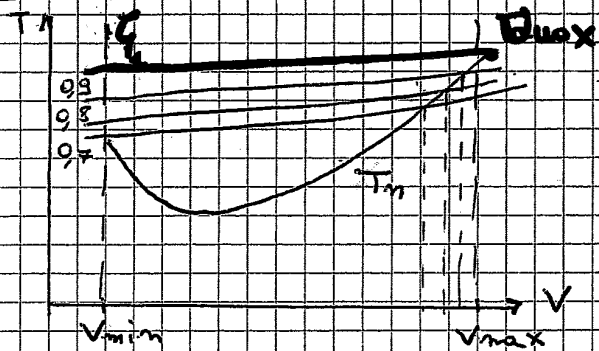
$$= 1 - \frac{V}{w_{g0}} + \frac{\frac{1}{2} k V^2}{\frac{k p}{\rho}} \left[ 1 - \left( \frac{V}{w_{g0}} \right)^4 \right]$$

$c = \sqrt{kRT} = \sqrt{k p / \rho}$   
 $\frac{V^2}{c^2} = M^2$

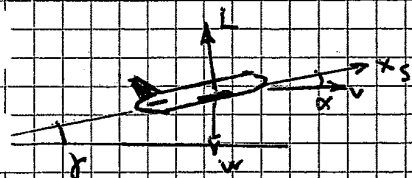
$$\chi_1 = 1 - \frac{V}{w_{g0}} + \frac{1}{2} k M^2 \left[ 1 - \left( \frac{V}{w_{g0}} \right)^4 \right]$$

$$\chi_2 = 1 + \frac{V}{w_{g0}}$$

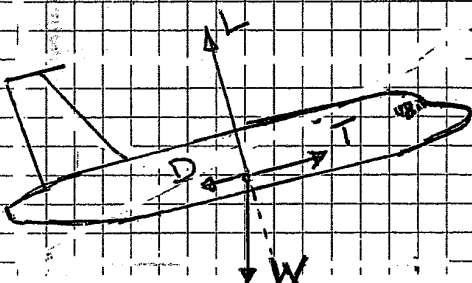
CURVA T-V : SPINTA IN FUNZIONE DI V



La  $V_{max}$  è data dalla INTERSEZIONE TRA  $T_{de}$  e  $T_m$ .  
Se ho la motore al 70% non raggiungo lo stesso  $V$  di quando ce l'ho al 100%!



$$\begin{cases} H=0 \\ L + T \sin i_T = W \cos \gamma \\ -D + T \cos i_T = W \sin \gamma \end{cases} \quad \left\{ \begin{array}{l} M=0 \\ L = W \cos \gamma \\ T - D = W \sin \gamma \end{array} \right.$$



RAFFORTO di  $R_{g}$  PASSO

$$\sigma_{pp} = \frac{u_{1A}}{u_{1g}}$$

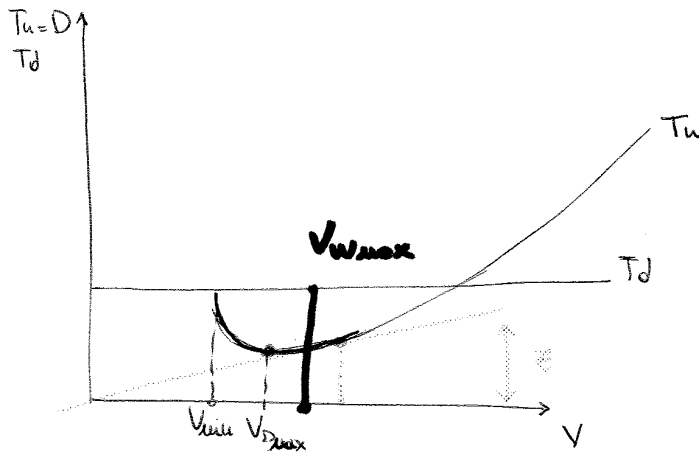
$$w_{1e} = \frac{w_{1g} + \sigma_{pp} u_{1g}}{1 + \sigma_{pp}}$$

Altezza equivalente di fusolo



10-04-2013  
(PAG 32)

AVENIAMO TROVATO UN PUNTO CARATTERIZZATO DA  $C_L$  di volo =



- VELOCITÀ di SALITA' max
- EFFICIENZA max

LA CONDIZIONE

$\left(\frac{E}{\sqrt{C_L}}\right)_{max}$ 
CORRISPONDE A
 $\Rightarrow$ 
 $\left(\frac{C_D}{\sqrt{C_L}}\right)_{min}$

$$\frac{C_D}{\sqrt{C_L}} = \frac{C_{D0}}{\sqrt{C_L}} + \frac{C_L^{3/2}}{e\pi\lambda} \equiv y$$

$$\frac{dy}{dC_L} = -\frac{1}{2} C_L^{-3/2} C_{D0} + \frac{3}{2} \frac{C_L^{1/2}}{e\pi\lambda}$$

$$\frac{dy}{dC_L} = 0 \Rightarrow \frac{3}{2} \frac{\sqrt{C_L}}{e\pi\lambda} = \frac{C_{D0}}{2\sqrt{C_L}^{3/2}} \Rightarrow C_L^2 = \frac{C_{D0} e\pi\lambda}{3}$$

$$\Rightarrow C_L \left(\frac{E}{\sqrt{C_L}}\right)_{max} = \sqrt{\frac{e\pi\lambda C_{D0}}{3}}$$

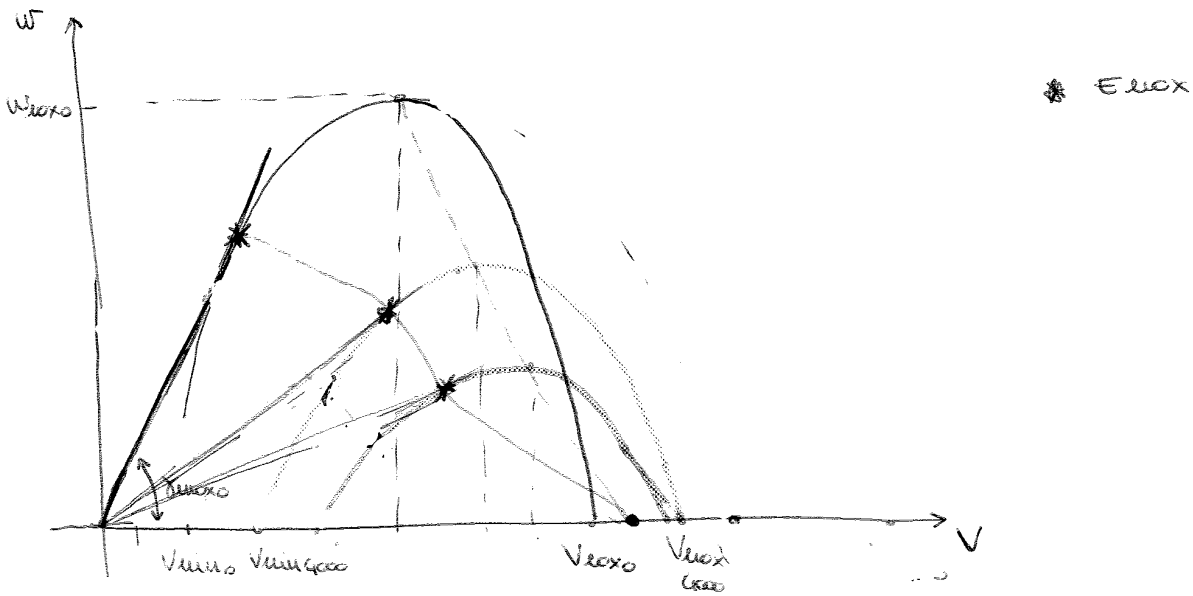
$$C_D = C_{D0} + \frac{C_L^2}{e\pi\lambda} = C_{D0} + \frac{e\pi\lambda C_{D0}}{3e\pi\lambda} = \frac{4}{3} C_{D0}$$

CONSIDERANDO LE RESISTENZE = ANCHE SPIRTE NECESSARIE RICAVO:

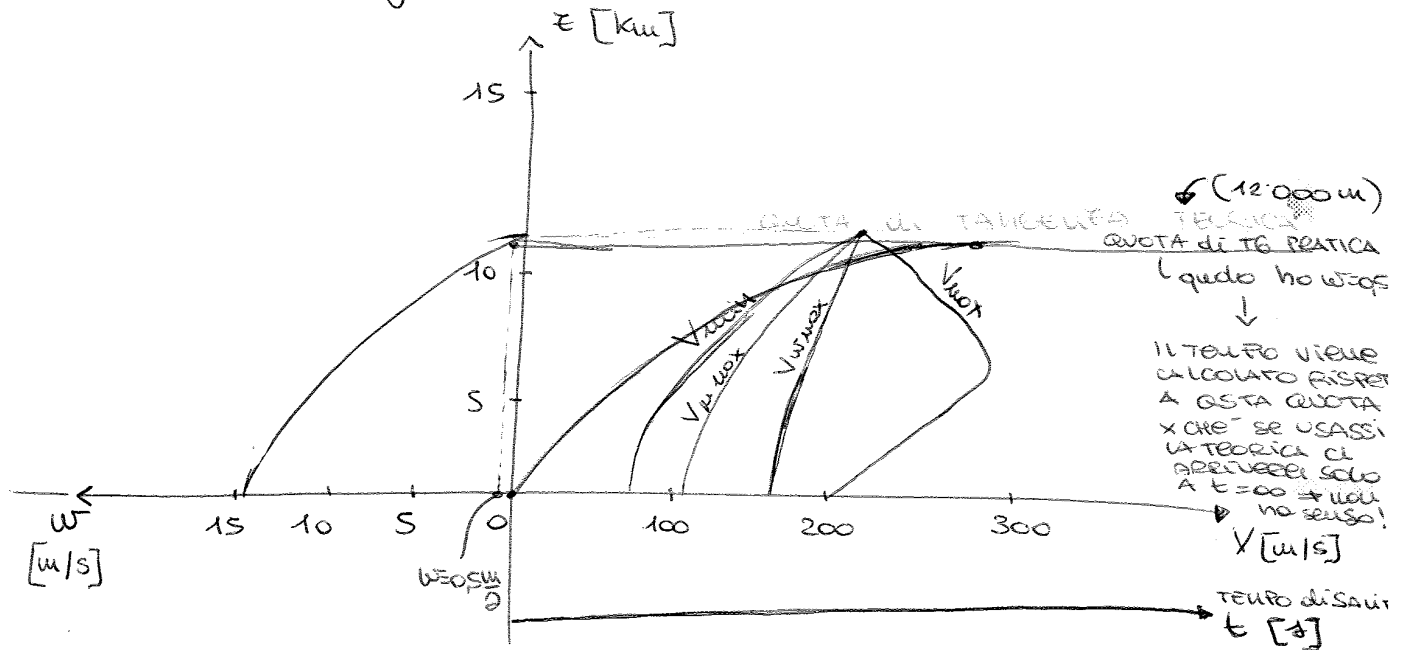
$w$  = VELOCITÀ di SALITA'       $V$  = velocità di volo  
 poiché le taupe  $\delta$  sono piccole posso dire  $V \approx \mu$

$w_{max} \rightarrow \left(\frac{E}{\sqrt{C_L}}\right)_{max} \Rightarrow$  MASSIMA AUTONOMIA CHILOMETRICA

$t_{max} \rightarrow E_{max} \Rightarrow$  MASSIMA AUTONOMIA ORARIA



Possiamo fare un grafico riassuntivo.



LA QUOTA di TANGENZA PRATICA È DEFINITA PER UNA  $w_{residua} = 0,5 \text{ m/s}$

$t_z = \text{TEMPO di SALITA ALLA QUOTA } z$

$$dz = w dt$$

$$t_z = \int_0^z \frac{dz}{w} \Rightarrow t_z = \sum_{i=1}^n \frac{\Delta z_i}{w_{mi}}$$

**\* DETERMINAZIONE DIRETTA della QUOTA di TANGENZA \***

$T = D$  e  $L = W$

so:  $\frac{T}{W} = \frac{D}{W} = \frac{D}{L} = \frac{1}{E} \Rightarrow T = \frac{W}{E}$

# \* VELOCITÀ AD ELICA \*

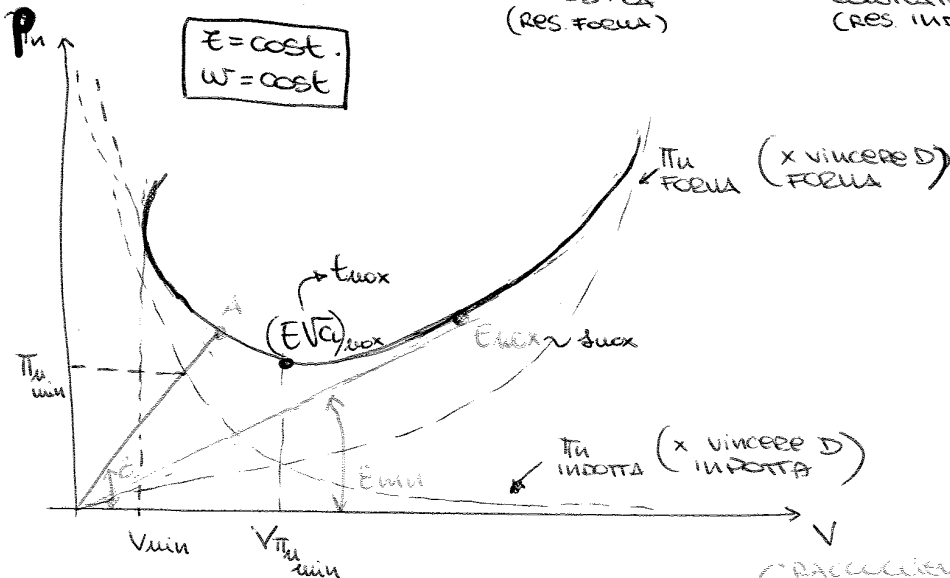
Conviene fare riferimento alle Potenze necessarie  $\tilde{\Pi}_u$  di volo orizzontale. Non usiamo le spinte necessarie x che poi dovremmo confrontare le  $\tilde{\Pi}_u$  con le potenze disponibili; in genere le eliche sono collegate a motori alternativi x cui è più facile parlare di potenze che non di SPINTA.

$$P_u = D \cdot V = \frac{1}{2} \rho V^3 C_D S = \frac{1}{2} \rho V^3 \left( C_{D0} + \frac{C_L^2}{\pi \Gamma} \right) S$$

$$\left( \text{Sopponendo } C_L = \frac{W/S}{\frac{1}{2} \rho V^2} \right) \Rightarrow = \frac{1}{2} \rho V^3 C_{D0} S + \frac{1}{2} \rho V^3 S \frac{C_L^2}{\pi \Gamma}$$

$$= \frac{1}{2} \rho V^3 C_{D0} S + \frac{W^2}{\frac{1}{2} \rho S \pi \Gamma V}$$

PARABOLA CUBICA (RES. FORMA)
IPERBOLE EQUILATERA (RES. INDOTTA)



$$\text{tg } E = \frac{P_u}{V} = \frac{\frac{1}{2} \rho V^3 C_{D0} S}{V} + \frac{W^2}{\frac{1}{2} \rho S \pi \Gamma V^2} = \text{cost} \cdot W \frac{C_D}{C_L} = \text{cost} \frac{W}{E}$$

$E_{max} \Rightarrow$  è il punto di  $\dot{S}_{max}$ ! (x velocità AD ELICA)

$$P_u = V^3 C_D \text{cost}'' = \text{cost}' \frac{C_D}{C_L^{3/2}} = \frac{\text{cost}'}{C_L} = \frac{\text{cost}'}{EVC_L}$$

dove ho  $(EVC_L)_{max}$  ho l'indice di quota  $\Rightarrow$  ho l'eccesso di potenza disponibile rispetto alla necessaria  $\rightarrow$  devo avere questa situazione di volo x raggiungere una data quota nel minor tempo possibile. Per  $(EVC_L)_{max}$  ho il minimo di potenza necessaria. Con  $V_{relativa} = (EVC_L)_{max}$  ho  $w_{max}$  = velocità di salita max  $\Rightarrow$  (≠ nel caso a getto in cui devo avere l'area del rettangolo max)



16/04/2013

Per calcolare la quota di tangenza teorica:

$$L = W = \frac{1}{2} \rho_0 V^2 S C_L \Rightarrow V = \sqrt{\frac{W/S}{C_L}} \sqrt{\frac{2}{\rho_0}} \cdot \frac{1}{\sqrt{\delta}}$$

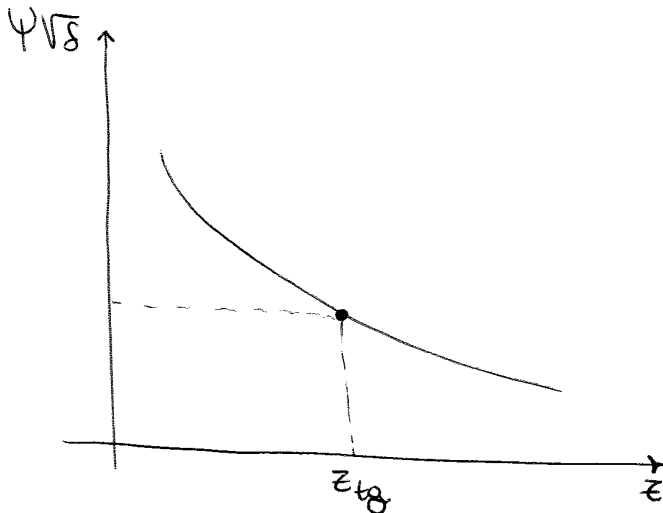
$$\frac{\pi d}{W} = \frac{\pi u}{W} \Rightarrow \frac{\eta_0 \epsilon \Psi \pi u_{\max}}{W} = \frac{DV}{W} = \frac{V}{E}$$

$$\Psi = \frac{P}{\rho_0} \sqrt{\frac{T_0}{T}}$$

PORTIAMO AL 1° MEMBRO CIÒ CHE DIPENDE DALLA QUOTA:

$$\Psi \sqrt{\delta} = \frac{\sqrt{2} W^{3/2}}{\sqrt{\rho_0} \eta_0 \pi u_{\max} \sqrt{S} (E \sqrt{C_L})_{\max} \epsilon} = f(\epsilon)$$

$\epsilon \rightarrow 1 \rightarrow$  HO MANETTA MAX  $\rightarrow$  DALLA DEFINIZIONE DI QUOTA DI TANGENZA  
 $\uparrow$  ALLA QUOTA DI TANGENZA



## \*LA CROCIERA\*

Possiamo fare la crociera in diversi modi in base a che il velivolo sia ad elica o a getto cambia il condotto di volo.

Per entrambi posso decidere di fare la massima percorrenza (AUTONOMIA MAX) o di avere la massima permanenza in volo (DURATA MASSIMA).

### ● IL VEIVOLO A GETTO

RISCRIVO LE EQ. DI EQUILIBRIO

$$\begin{aligned} T = D &= \frac{1}{2} \rho_0 S V^2 C_D \\ L = W &= \frac{1}{2} \rho_0 S V^2 C_L \end{aligned} \quad \left. \begin{array}{l} \\ \end{array} \right\} \text{VALIDO IN VOLO ORIZZONTALE}$$

Ma noi le considereremo comunque valide in crociera xché  $\gamma$  è piccolo

$$\Rightarrow \cos \gamma \sim 1 \quad \text{QUASI}$$

SIAMO IN VOLO SUB-ORIZZONTALE IN CROCE

$$\delta = \frac{EV}{k_{km}} \ln\left(\frac{W_i}{W_f}\right) = \frac{EV}{k_{km}} \ln\left(\frac{W_i}{W_i - G}\right) = \frac{EV}{k_{km}} \ln\left(1 - \frac{G}{W_i}\right)^{-1}$$

In questo modo ho supposto  $V = \text{cost}$  e  $C_i = \text{cost}$  mentre  $P \neq \text{cost}$  e  $Z \neq \text{cost}$ .  
Questa è una condotta di volo.

$G$  in genere è un dato che ha definizione xché so quanto è il carburante caricato sul velivolo che posso consumare.

Per motivi di sicurezza c'è un minimo quantitativo di carburante.  
 $V_i$  è un carico max di carburante. C'è anche una certa quantità di carico utile.

Sostituendo nella (1) la relazione  $V$  ricavata dalle eq. di equilibrio:

$$d\delta = - \frac{E}{k\sqrt{C_i}} \sqrt{\frac{1}{\frac{1}{2}\rho_0 S}} \frac{\sqrt{W}}{W} dW$$

$$\delta = - \frac{E}{k\sqrt{C_i}} \frac{\sqrt{2/\rho_0}}{\sqrt{S}} \cdot 2 \left| \sqrt{W} \right|_i$$

$$\delta = \underbrace{- \frac{E}{k\sqrt{C_i}}}_{\text{COSTANTI}} \frac{\sqrt{2/\rho_0}}{\sqrt{S}} \cdot 2 \left( \frac{\sqrt{W_i - G}}{\sqrt{W_i}} - \frac{\sqrt{W_i}}{\sqrt{W_i}} \right) \sqrt{W_i}$$

$$\delta = 2 \sqrt{2/\rho_0} \frac{E \sqrt{W_i/S}}{k\sqrt{C_i} \sqrt{S}} \left[ 1 - \left( 1 - \frac{G}{W_i} \right)^{1/2} \right] \cdot 3,6 = [k_{km}]$$

$\hookrightarrow [N/N \cdot h]$

$$\delta = 7,2 \sqrt{2/\rho_0} \frac{E}{\sqrt{C_i}} \cdot \frac{1}{k_{km}} \cdot \frac{1}{\sqrt{S_m}} \cdot \sqrt{\frac{W_i}{S}} \left[ 1 - \left( 1 - \frac{G}{W_i} \right)^{1/2} \right]$$

mediati  
nella crociera

Ho considerato  $E = \text{cost}$  e  $C_i = \text{cost}$

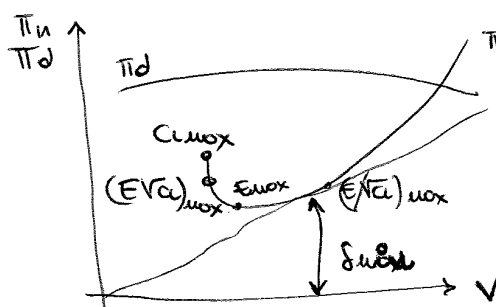
$\Rightarrow \frac{E}{\sqrt{C_i}} = \text{cost}$  e  $\frac{1}{\sqrt{S}} = \text{cost}$  OUVIAMENTE VARIA SEMPRE  $k_{km}$  x effetto

del n° di giri e della velocità!

MASSIMA AUTONOMIA

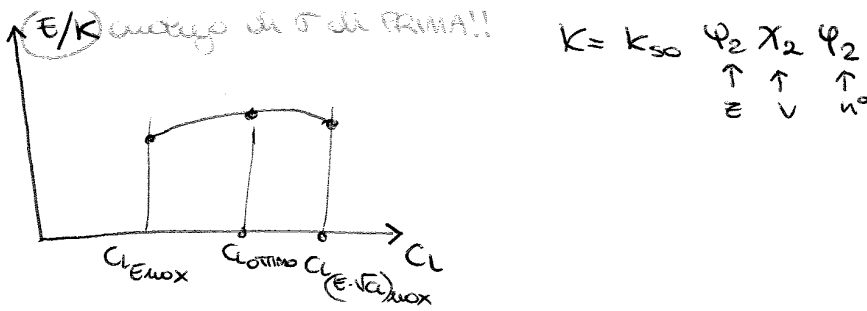
fissata la quota quello che si vede è che la

$$\delta_{\text{max}} \text{ si ha se } \left( \frac{E}{\sqrt{C_i}} \right)_{\text{max}}$$



$\Pi_u \leftarrow$  CURVA DELLE SPIRTE NECESSARIE

N.B. NOTA LA POSIZIONE DI  $E_{\text{max}}$  e  $(E/\sqrt{C_i})_{\text{max}}$  NEL VEIVOLU A GETTO!



**\* IL DIAGRAMMA di UTILIZZO \***

Quello che affronteremo è un discorso molto interessante x l'oviazione civile.

$W_{vo}$  = PESO A VUOTO OPERATIVO (STRUTTURA cui ciò che è necessario per volare MA NON C'È CARBURANTE NE IL CARICO UTILE)

$J$  = CARICO UTILE (ciò che devo trasportare PASSEGGERI E BAGAGLI)

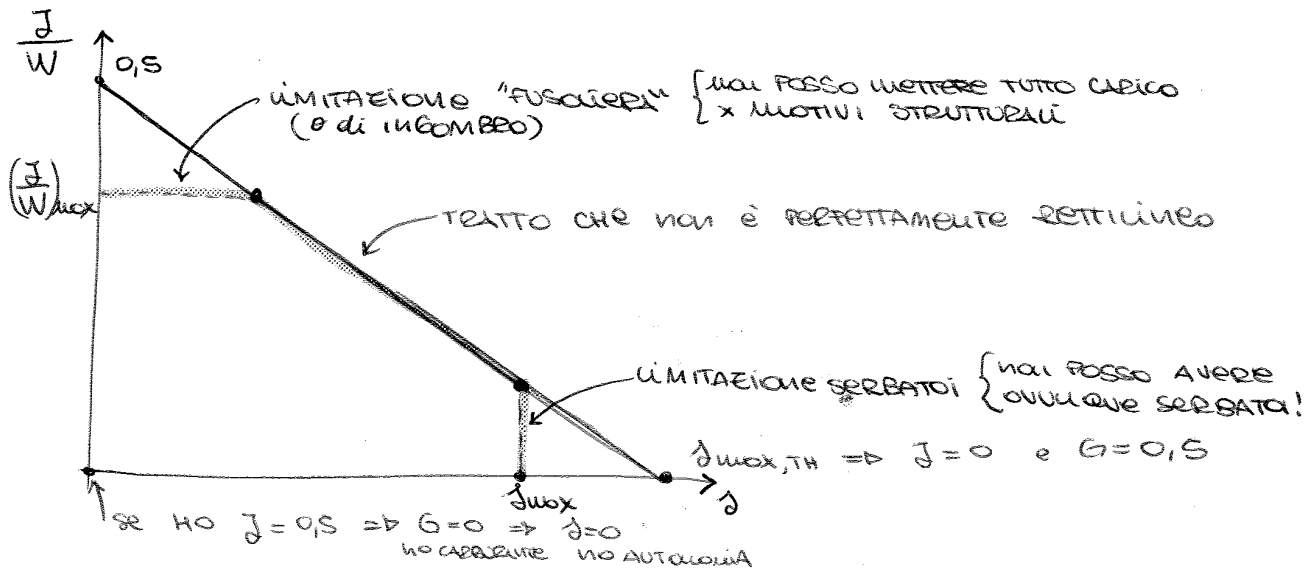
$G$  = CARBURANTE

$W_{vo} = W_{TOT} - J - G$

$\frac{J}{W} = 1 - \frac{W_{vo}}{W} - \frac{G}{W}$

$\frac{W_{vo}}{W} = 0,5 \Rightarrow$  50% del peso totale è il peso a vuoto operativo

Le % di  $J$  e  $G$  sono variabili in base alle nostre necessità (OTTIMIZZO AUTONOMIA e IL CARICO).



la curva è da considerare ~ lineare anche se esto non è perfetto x che il consumo di carburante e l'autonomia non sono collegati da una relazione lineare!!

$i$  = MOMENTO di TRASPORTO  $\left[ \frac{J \cdot J}{W} \right] = \left[ \frac{\text{Tavellote di } J \cdot k_{uv}}{\text{Tavellote zero } W} \right]$

se considero  $\left. \begin{matrix} n^o \text{ giri} = \text{cost} \\ z = \text{cost} \end{matrix} \right\} \Rightarrow \begin{cases} \psi_2 = \text{cost} \\ \varphi_2 = \text{cost} \end{cases} \Rightarrow \left\{ \begin{matrix} C_k \text{ dipende} \\ \text{solo dalla velocità} \end{matrix} \right.$

consumo chilometrico fisso sulla crociera

$$\Rightarrow C_k = \frac{dw}{d\theta} = \frac{k}{EV} W = \frac{k_{so}}{EV} \left(1 + \frac{V}{W}\right) W = W \left( \frac{k_{so}}{EV} + \frac{k_{so}}{EW} \right)$$

PESO INIZIALE  
COSTO CARICO?

QUESTO VALE X LA FASE DI CROCIERA

QUANTITÀ CARBURANTE

$$\frac{C_k}{T_n} = \frac{N_{\text{combustibile}}}{T_n \cdot k_{cu}}$$

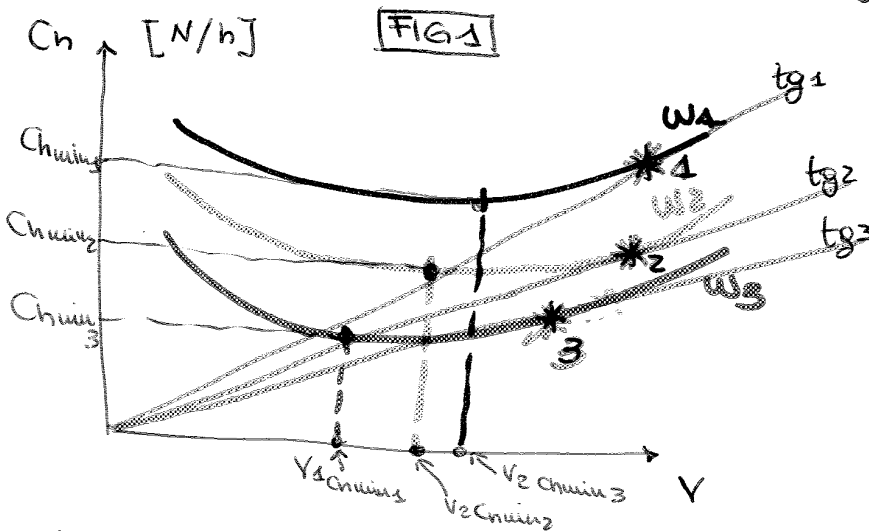
ORA CONSIDERO:  $z = \text{costante}$   
 $W = \text{costante}$  DURANTE LA PROVA

$k_{cu}$  che posso fare  
tonnellate che posso trasportare

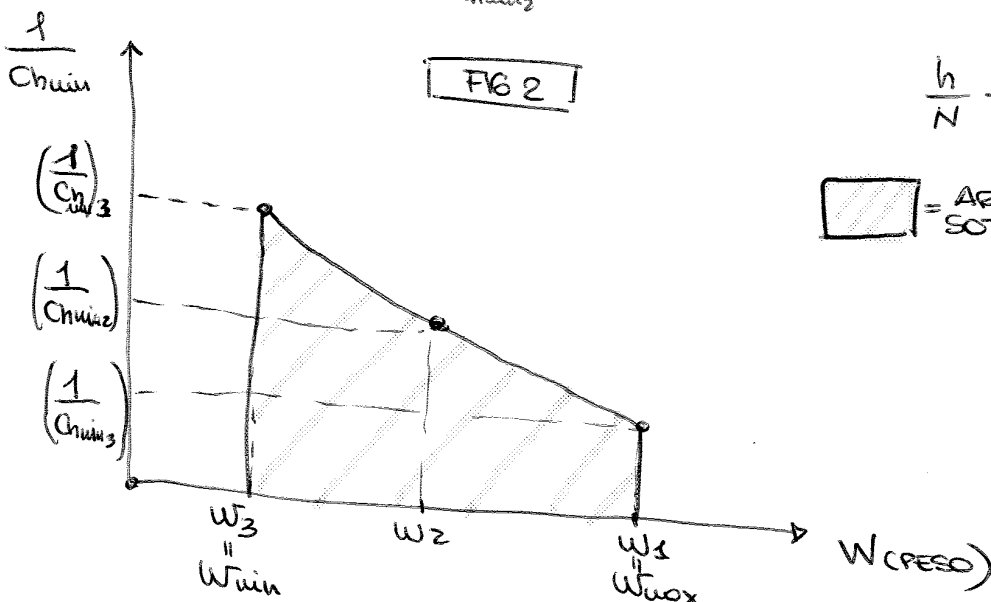
consumo chilometrico

$$C_h = C_k \cdot V = \left[ \frac{N}{k_{cu}} \cdot \frac{k_{cu}}{h} \right] \Rightarrow \left[ \frac{N}{h} \right] \text{ consumo orario}$$

consumo orario



$z = \text{cost}$   
 $W = W_1$  (PESO)  
dopo un po' di tempo  
 $W = W_2$  con  $W_2 < W_1$   
e RICALCOLO le  $C_h$   
(ORA il minimo di  $C_h$  è a velocità PIÙ BASSA)  
DOPO UN PO' CALCOLO  
a  $W = W_3$  con  $W_3 < W_2$   
 $\Rightarrow$  minimo a velocità di velocità PIÙ BASSA



$$\frac{h}{N} \cdot N = N$$

AREA SOTTESA =  $t_{max}$  x PERCORRENZA



# \* AUTONOMIA DEL VELOVOLO AD ELICA \* 24/04/2013

Abbiamo le solite 2 eq. di equilibrio con le Potenze che è + facile parlare di potenza e non di spinto per i motori a elica.

$$\eta_e \pi_{tm} = \pi_{th} = D \cdot V = \frac{1}{2} \rho_0 S V^3 C_D S$$

$\uparrow$  motore       $\uparrow$  necessaria       $\leftarrow$  DEAG VELOCITA

$$W = \frac{1}{2} \rho_0 S V^2 C_D S$$

$\pi_{tm}$  tiene conto della manetta max ( $\epsilon=1$ ) e dell'angolo  $\psi$  che tiene conto della quota  $z$

$\eta_e$  = rendimento elica

$$\Rightarrow \pi_{tm} = \pi_{mo} \psi \epsilon$$

( $\pi_{tm}$  = POTENZA MOTORE)

facendo il RAPPORTO:

$$\frac{\eta_e \pi_{tm}}{W} = \frac{V}{E}$$

moltiplico entrambi i membri per  $c dt$  con  $c$  che è il consumo specifico del motore

$$c = \left[ \frac{\frac{N}{W \cdot s}}{\frac{N}{Nm \cdot s}} \right] = \left[ \frac{N}{\frac{Nm}{s} \cdot s} \right]$$

$\leftarrow$  NEWTON COMBUSTIBILE  
 $\uparrow$  VATT POTENZA       $\leftarrow$  SECONDI, ORA

$$\Rightarrow \frac{\eta_e \pi_{tm} c dt}{W} = \frac{V}{E} c dt$$

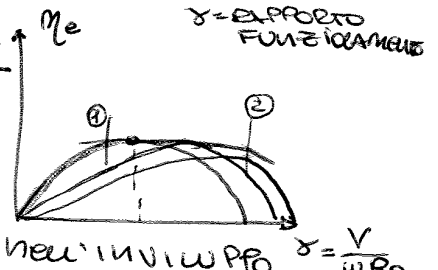
dove  $\left\{ \begin{array}{l} \pi_{tm} c dt = - dW \\ \uparrow \\ \text{PERDITE DI PESO} \\ \times \text{IL CONSUMO} \end{array} \right.$

$V dt = ds$

Integro con  $\left\{ \begin{array}{l} C_L = \text{cost} \\ E = \text{cost} \end{array} \right.$

e  $\left\{ \begin{array}{l} c = \text{CONSUMO SPECIFICO VARIA CON } z \text{ e } \eta_{giri} \\ \text{MA DI POCO!} \end{array} \right.$

$\eta_e$  elica a passo fisso -  
 $\eta_e$  elica a passo variabile -  
 L'INVIUWPO -  
 MI METTO SUL MAX  
 VARIANDO IL PASSO



se mi metto con un elica a passo variabile nell'INVIUWPO TRA ① e ② SUPPONGO  $\eta_e = \text{cost}$ :

$$ds = - \frac{\eta_e E}{c} \frac{dW}{W}$$

SO CHE NELLA CROCIERA POSSO GIOCARE SU QUATTRO PARAMETRI  $C_L, V, z, \epsilon$  E HO SEMPRE 2 eq. di equilibrio  $\Rightarrow$  2 PARAMETRI FISSI E 2 VARIABILI  $\Rightarrow$  CON LE APPROSSIMAZIONI FATTE POSSO INTEGRARE L'EQ. AFFEVA SCRITTA!

$$\Rightarrow s = \frac{\eta_e E}{c} \ln \left( \frac{W_i}{W_f - G} \right) = \frac{\eta_e E}{c} \ln \left( \frac{1}{1 - G} \right) \Rightarrow \left[ \frac{\pi_{tm}}{\rho} \frac{A}{m} \right] \Rightarrow \frac{1}{1000} [km] (ok!)$$

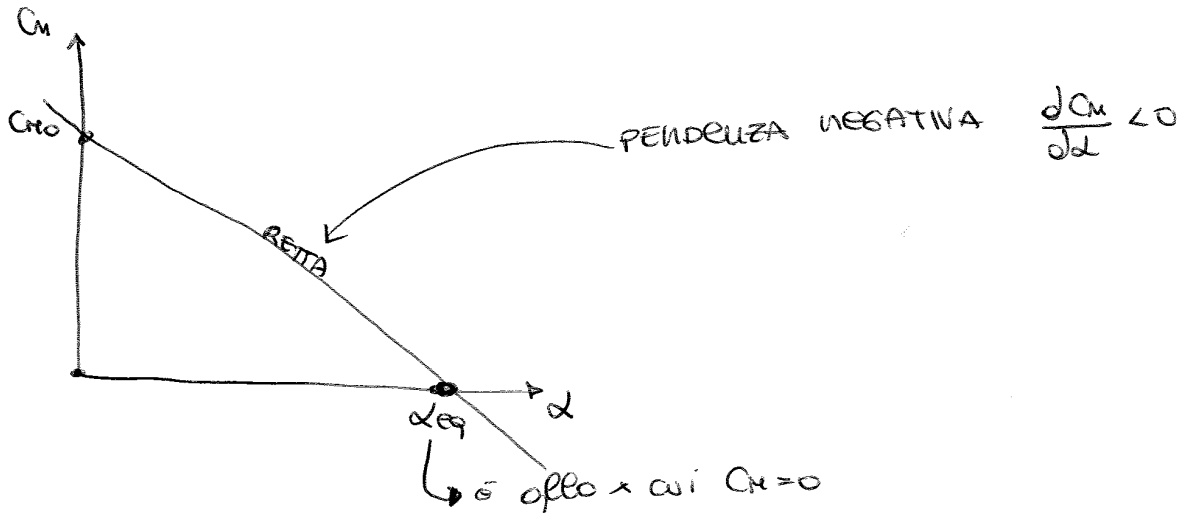
Per avere una condizione di S.S.I. devo avere:

$$\frac{dC_m}{d\alpha} = C_{m\alpha} < \phi \quad \left\{ \begin{array}{l} \Delta\alpha < 0 \Rightarrow \Delta C_m > 0 \\ \Delta\alpha > 0 \Rightarrow \Delta C_m < 0 \end{array} \right. \begin{array}{l} \text{ANNULLA I DECREMENTI} \\ \text{di } \alpha \text{ ANNULLANDO IL} \\ \text{DISTURBO GENERATO} \end{array}$$

Il velivolo non ha x forza questa caratteristica, se non è automatico applico dei sistemi che lo rendono stabile.   
 ↳ AEREI MILITARI

Un velivolo può essere INTRINSICAMENTE STABILE. In casi particolari il velivolo può non essere stabile ⇒ ENTRO CERTI LIMITI IL PILOTA RIESCE A RECUPERARE E STABILIZZARE l'aereo ⇒ UNA CORREZIONE MANUALE genera un altro disturbo ⇒ MANUALMENTE è UNA FATICA ASSURDA !!

ANDIAMO A DIAGRAMMARE  $C_m = f(\alpha)$

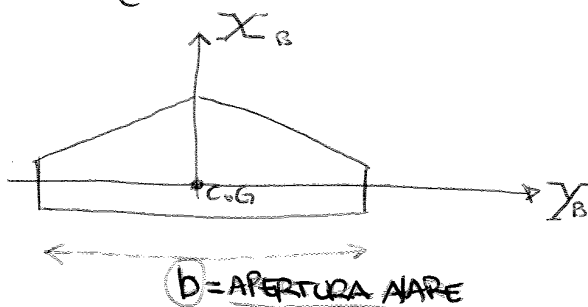


da  $\frac{dC_m}{d\alpha} < 0$  so che  $C_{m0} > 0$  ALTRIMENTI SE FOSSE NEGATIVO NON AVREBBE PENDENZA NEGATIVA PASSANDO PER  $\alpha_{eq}$ .

ORA VOGLIAMO RICAVARE L'EQUAZIONE DEL  $C_m$  CHE IMPIEDISCA = 0 da le condizioni di equilibrio, derivandola ricavo le condizioni di  $\alpha$ .

\* ESPRESSIONE DEL  $C_m$  X VELIVOLI \*

• ALI SOLATE = (VELIVOLI TUTT'ALIA)



$C_{m0}$  = CORDA MEDIA GEOMETRICA

$$C_{m0} = C_m = \frac{S}{b} = \frac{2}{b} \int_0^{b/2} dy$$

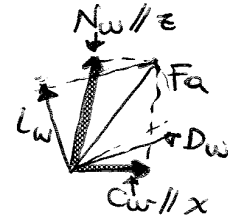
S = SUPERFICIE ALARE

$C_{ma}$  = CORDA MEDIA AERODINAMICA

$$C_{ma} = \frac{2}{b} \int_0^{b/2} c^2 dy$$

↳ nell'ALA RETTANGOLARE  $C_{ma} = C_m$

Definisco anche  $x_g$  e  $z_g$  rispetto al nuovo S.R. del BARICENTRO.  
 Vado a scomporre la  $F_w$  in  $N_w$  e  $C_w$  // Al nuovo sist. di RIF.



$$N_w = L_w \underbrace{\cos(\alpha_w - i_w)}_{\sim 1} + D_w \underbrace{\sin(\alpha_w - i_w)}_{\sim (\alpha_w - i_w)}$$

$$N_w = L_w + D_w (\alpha_w - i_w)$$

$$C_w = D_w \cos(\alpha_w - i_w) - L_w \sin(\alpha_w - i_w) = D_w - L_w (\alpha_w - i_w)$$

poiché  $D_w \ll L_w \Rightarrow N_w \approx L_w$   
 $C_w \approx D_w - L_w (\alpha_w - i_w)$

$$M_{ow} = N_w (x_g - x_A) + C_w (z_g - z_A) + M_{ow} =$$

$$= L_w (x_g - x_A) + D_w (z_g - z_A) - L_w (z_g - z_A) (\alpha_w - i_w) + M_{ow}$$

$$C_{MAW} = C_{LW} \frac{x_g - x_A}{c} + C_{DW} \frac{z_g - z_A}{c} - C_{LW} (\alpha_w - i_w) \frac{z_g - z_A}{c} + C_{MOW}$$

$$C_{MAW} = C_{LW} \frac{x_g - x_A}{c} + \underbrace{[C_{DW} - C_{LW} (\alpha_w - i_w)]}_{\text{WING DRAG TURN}} \frac{z_g - z_A}{c} + C_{MOW}$$

WING DRAG TURN  
 CONTRIBUTO DELLA RESISTENZA  
 DELL'ALA AL COEFF. DI MOMENTO

↓  
 contiene  $C_{DW}$  e  $C_{LW}$   
 sono due termini piccoli  
 che si sottraggono e poi  
 sono moltiplicati x  $z_g - z_A$   $\Rightarrow$  N messo nelle  
 maggior parte  
 che non è trascurabile se  
 dei casi!!  
 g e a sono lontani (non  
 accade spesso!)

$$C_{MAW} = C_{LW} \frac{x_g - x_A}{c} + C_{MOW} \quad \left. \vphantom{C_{MAW}} \right\} \text{È LA RETTA DEFINITA PRIMA}$$

SAPENDO CHE  $C_{LW} = \frac{\partial C_{LW}}{\partial \alpha_w} \cdot \alpha_w = a_{LW} \alpha_w$  COEFF. ANGOLARE di PORTANZA ALA

$$\Rightarrow C_{MAW} = C_{MOW} + a_{LW} \alpha_w \frac{x_g - x_A}{c}$$

• ALL'EQUILIBRIO  $C_{MA} = 0 \Rightarrow C_{LW} = - \frac{C_{MOW}}{(x_g - x_A)}$

• X LA STABILITÀ  $C_{MA} < 0 \Rightarrow \frac{\partial C_{MA}}{\partial \alpha_w} < 0 \Rightarrow a_{LW} \frac{x_g - x_A}{c} < 0$

**\* ALA + FUSOLIERA = BODY \***

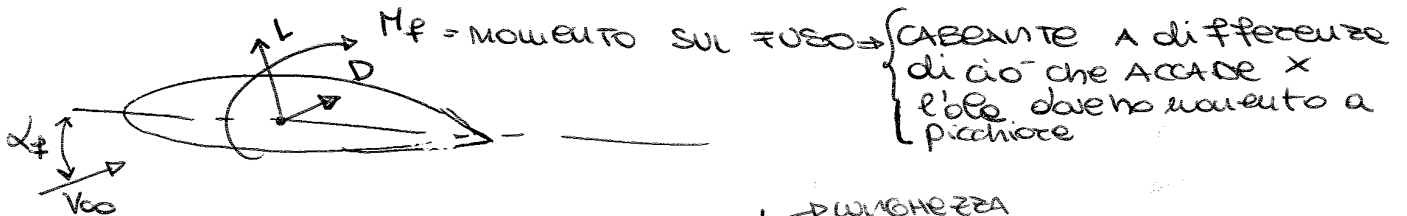
→ RISCRIVO LE EQ. SENZA CONSIDERARE LA CODA MA RISPETTO AGLI ASSI BODY.

• LA FUSOLIERA È APPROSSIMATA A UN "FUSO"



ALINEAMENTO ALA FUSOLIERA ⇒ ANGOLO TRA  $C_{Lw}=0$  e DIREZIONE DELL'ALA

SE LA FUSOLIERA FOSSE UN FUSO LA DIREZIONE DI  $C_L$  NUOVO SAREBBE L'ASSE DEL FUSO



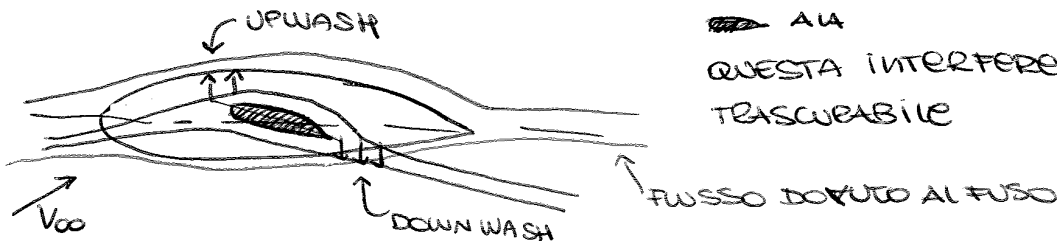
$M_f$  = MOMENTO SUL FUSO ⇒ CASANTE A DIFFERENZE DI  $C_D$  CHE ACCADE × L'ORA DAVANTI MOMENTO A PICCHIORE

slendrezza  $\epsilon = \frac{L}{\phi}$  → LUNGHEZZA → DIAMETRO

$$M_f = \frac{1}{2} \rho V^2 (1 - \epsilon) V_{\infty} \sin(2\alpha_f)$$

SE AGGIUNGO LA FUSOLIERA ALL'ALA OTTENGO:

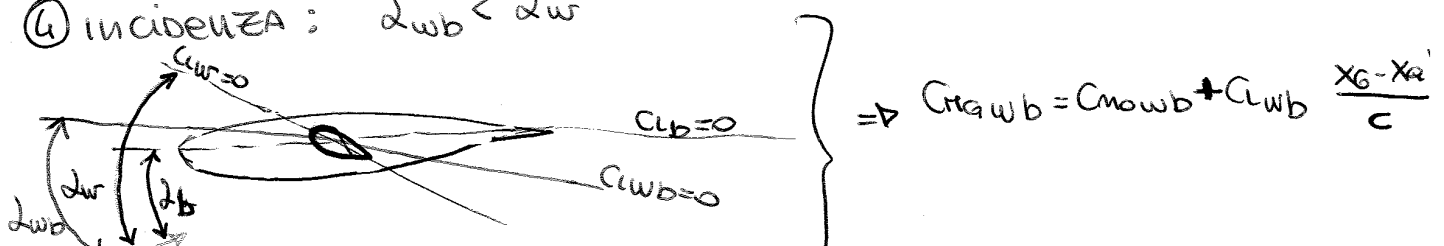
• SE ANCHE AVESSIMO UNA FUSOLIERA COME UN FUSO ANCHE UNA INTERFERENZA ALA-FUSO!



ALA  
QUESTA INTERFERENZA NON È TRASCURABILE

Il flusso dell'ala e del fusolo interagiscono modificando i parametri.

- ① POSIZIONE DEL FUOCO :  $X_{a'} < X_a$
  - ② MOMENTO FOCAL :  $|C_{m_{owb}}| > |C_{m_{ow}}|$
  - ③ COEFF. ANGOLARE di PORTANZA :  $a_{wb} > a_w$
  - ④ INCIDENZA :  $\alpha_{wb} < \alpha_w$
- } + IMPORTANTI ed EVIDENTI di ③ e ④



RISPETTO ALLA DIREZIONE di  $C_L=0$  del sistema completo  
 posso calcolare l'incidenza e la  $V_{eff}$  aerodinamica.

$\alpha_t$  è un  $\alpha$  ~~apparente~~ e aerodinamico  $\Rightarrow$  l' $\alpha$  tra la  $V_{\infty}$  e la  
 direzione di  $C_L=0$  è l'effettivo e anche questo è  
 aerodinamico con la diff. che  $\alpha_t$  vale solo sull'imp. orizz.  
 mentre l'altro è sul velivolo complessivo.

$$M_{\alpha t} = -N_t e't = -L_t e't \quad \text{dove } L_t = N_t$$

$$\frac{V_{eff}^2}{V_{\infty}^2} = \eta_t \geq 1$$

LA DIREZIONE di  $V_{eff}$  dato di  $\alpha$  il suo MODULO PUÒ CAMBIARE!

$\eta_t > 1 \Rightarrow$  VELOCITÀ CHE INVERTE IL TAIL  $V_{eff} > V_{\infty}$

$\eta_t = 1 \Rightarrow$  È TRASCRIBIBILE IL CAMBIAMENTO DI VELOCITÀ

$\eta_t < 1 \Rightarrow$  IL TAIL È NELLA SCIA DELL'ALA O QUANDO PARTE DELLA SUA  
 APERTURA SI TROVA NELLA PARTE DELLO STRATO LIMITE DELLA  
 FUSOLIERA.  $\swarrow$  coeff. ang. di portanza del TAIL isolato

$$C_{MGt} = \frac{M_{Gt}}{\frac{1}{2} \rho V^2 S_c} = \frac{-C_{L_{ti}} \cdot e't \cdot S_t \left(\frac{1}{2} \rho V^2\right) \eta_t}{\frac{1}{2} \rho V^2 S_c}$$

$$C_{MGt} = \frac{-C_{L_{ti}} \cdot e't \cdot \eta_t S_t}{S_c} = -C_{L_{ti}} \eta_t \bar{V}'$$

$\bar{V}' =$  RAPPORTO VOLUMETRICO di CODA =  $\frac{S_t e't}{S_c}$   
 DEL TAIL ISOLATO IN BANCA  $\swarrow$  SERVE x ADIMENSIONARE IL TUTTO!  
 DEL TAIL CONSIDERATO SUL VELOVOLO COMPRESSIVO  $\swarrow$  SUPERFICIE di RIFERIMENTO dell'ALA  
 CODA di RIFERIMENTO dell'ALA

$$C_{MGt} = -a_{ti} d_t \eta_t \bar{V}' = a_t d_t \bar{V}'$$

$$C_{MGt} = -C_{L_{ti}} \eta_t \bar{V}' = -C_{L_t} \bar{V}' \Rightarrow \boxed{a_t = a_{ti} \eta_t}$$

LEGHIAMO  $e_t$  a  $e't$ :

$\rightarrow$  CHE CHIAMO  $x_a'$  CHE DAL PUNTO ① È  $x_a' \leftarrow x_a$

$$e_t = e't + x_a - x_{a'}$$

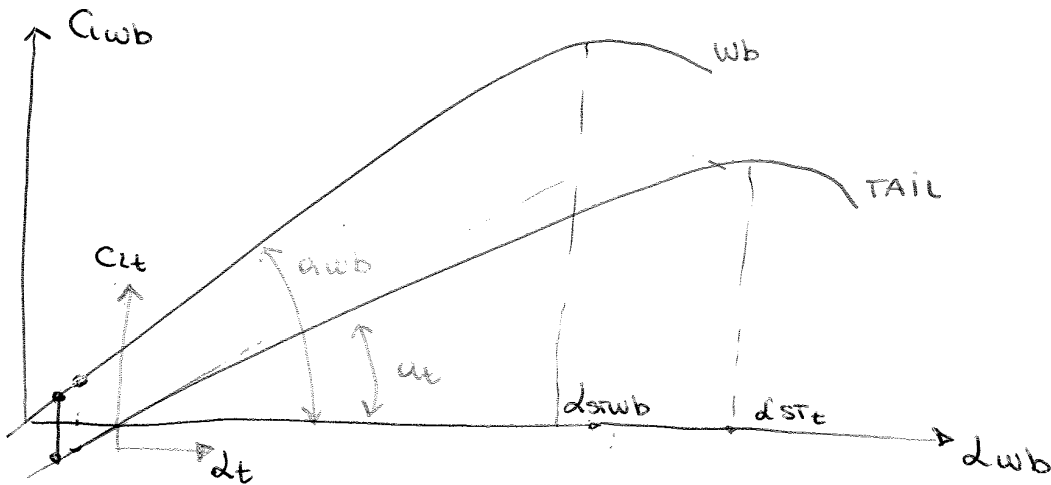
DEFINISCO UN ALTRO RAPP. VOLUMETRICO di CODA  $\bar{V}$ :

$$\bar{V} = \frac{S_t e_t}{S_c} = \frac{S_t e't}{S_c} + \frac{S_t}{S} \frac{x_a - x_a'}{c}$$

$$\bar{V} - \bar{V}' + \frac{S_t}{S} \frac{x_a - x_a'}{c}$$



PER UN VEIVULO CLASSICO  $\begin{cases} a_{wb} = 5 \div 5,8 \\ a_t = 3 \end{cases}$



PER UN CERTO  $\alpha$  SULL'AIA E UN  $\alpha$  SUL TAIL distinti ho  $C_{l_{TOT}} = 0$   
 IN QUESTO MODO  $L_{AIA} =$  DEPORTANZA SULLA COPPA!  $\rightarrow$  dipendono dalle  $\neq$  superfici AIA TAIL  
 $\rightarrow$  STALLO DELL'AIA AVVIENE MOLTO PRIMA DELLO STALLO DEL TAIL  $\Rightarrow$  DEVO  
 POTER ANCORA MANOVARE X USCIRE DALLO STALLO!

\*COEFF. ANGOLARE DI PORTANZA DEL VEIVULO COMPLETO\*

$$\rightarrow \frac{\partial C_l}{\partial \alpha} = a = a_{wb} (1+F)$$

$$\Rightarrow (\alpha_{wb})_{C_l=0} = \frac{a_t}{a_{wb}} \frac{S_t}{S} \frac{i}{1+F}$$

$$\Rightarrow (C_l)_{\alpha_{wb}=0} = - a_t \frac{S_t}{S} i$$

$$\text{ANDO } \alpha_{wb}=0 \Rightarrow L_{wb}=0 \Rightarrow \boxed{L \equiv L_t}$$

RICORDIAMOCI CHE

$C_l = a \alpha$   $\rightarrow$  inc. del veivulo completo MISURATA RISP. ALLA DIREZIONE DI  $C_l=0$  del veivulo completo (DIREZ. PORTANZA NUOVA VEIVULO)  
 $\rightarrow$  COEFF. ANG. PORTANZA VEIV. COMP.

$$\alpha \cdot d = C_l = a_{wb} \alpha_{wb} (1+F) - a_t \frac{S_t}{S} i$$

$$\alpha_{wb} = \frac{a \alpha + a_t \frac{S_t}{S} i}{a_{wb} (1+F)} = \alpha + \frac{a_t}{a} \frac{S_t}{S} i$$

$$C_{M0} = \dots + a_t \bar{V} \frac{1}{1+F} + \dots \rightarrow \text{eq. (5) } \text{è ie } C_{M0} \text{ per } d=0$$

$(C_{M0})_{d=0}$   
 > 0 con la coda davanti CONT. > 0 ESSE STABILE  
 < 0 x che x alla convenzionale  $C_{M0} < 0$  il body non infuise + di tanto!  
 > 0 ESSERE > 0 DIPENDE DALLA POSIZIONE ZP MA È PICCOLO! UN PUNTO FITIZIO!

RICAVO IL TERMINE CHE DIFENDE DA d :

$$C_{M,d} = a \frac{X_G - X_{A'}}{c} - a_t \bar{V} \left( 1 - \frac{\partial \epsilon}{\partial d} \right) + \frac{\partial C_{M,P}}{\partial d} \quad (6)$$

$C_{M,d} = 0 \Rightarrow$  VEIVOLO NEUTRO

NULLANDO QSTA RELAZIONE HO :

$$C_{M,d} = a \left[ \frac{X_G}{c} - \frac{X_{A'}}{c} - \frac{a_t \bar{V}}{a} \left( 1 - \frac{\partial \epsilon}{\partial d} \right) + \frac{1}{a} \frac{\partial C_{M,P}}{\partial d} \right] = 0$$

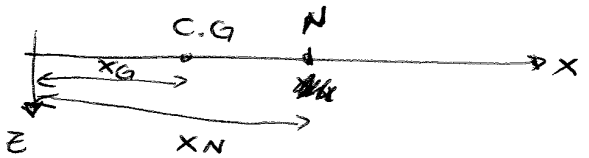
$C_{M,d} = 0 \Rightarrow \frac{X_G}{c} \equiv \frac{X_N}{c}$  ← PUNTO NEUTRO + COMPLETO di quo che AVEVAMO TROVATO L'AREA VOLTA!

$$\left( \frac{X_G}{c} \right)_{C_{M,d}=0} = \frac{X_N}{c} = \frac{X_{A'}}{c} + \frac{a_t \bar{V}}{a} \left( 1 - \frac{\partial \epsilon}{\partial d} \right) - \frac{1}{a} \frac{\partial C_{M,P}}{\partial d}$$

$C_{M,d} = a \frac{X_G - X_N}{c}$  (NB. asse x va verso poppa)

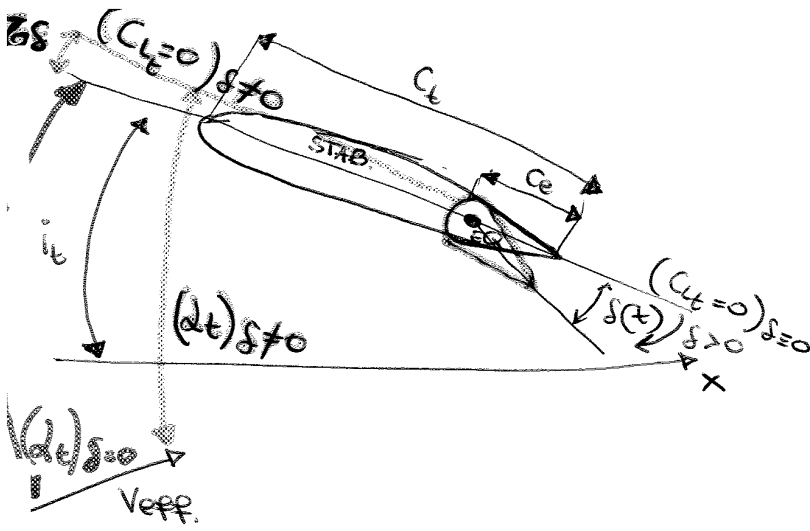
MARGINE STATICO  $X_G - X_N < 0 \Rightarrow$  VEIVOLO STABILE x che  $C_{M,d} < 0$

$X_G$  deve essere prima di  $X_N$   
 $X_G < X_N$



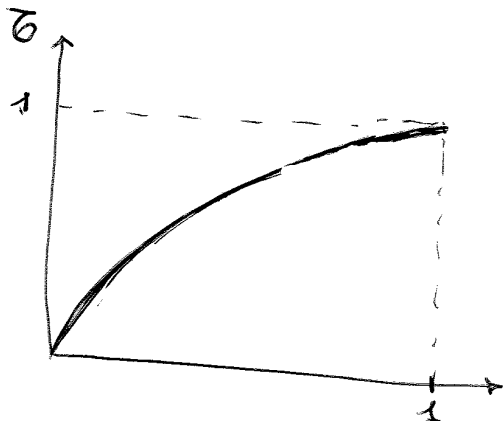
se  $X_G > X_N \Rightarrow C_{M,d} > 0 \Rightarrow$  VEIVOLO INSTABILE!!





SE RUOTO L'EQUILIBRATORE SI SPOSTA ANCHE L'ASSE DI PORTANEA NULLA NEL TAIL! DI QUANTO? DI UN ANGOLO  $\sigma$  ALL'ANGOLO DI ROTAZIONE DELL'EQUILIBRATORE E'  $\sigma$  !!

$$(\alpha_t)_{\delta \neq 0} = [(\alpha_t)_{\delta=0} + \sigma \delta] \Rightarrow \Delta \alpha_t = (\alpha_t)_{\delta \neq 0} - (\alpha_t)_{\delta=0} = \sigma \delta$$



$\Rightarrow$  IL RAPPORTO  $\sigma$  AUMENTA CON L'AUMENTARE DEL  $\frac{C_e}{C_t}$  !

$\frac{C_e}{C_t} \rightarrow$  PERCENTUALE DI EQ. SU STABILIZZATORE

$\frac{C_e}{C_t} = 1 \rightarrow$  RUOTO L'ASSE DI PORTANEA NULLA DELL'ANGOLO DI  $\delta$  !!

A VARIAZIONE DELLA DIREZIONE DI PORTANEA NULLA SARÀ:

$$\Delta \alpha_t = \sigma \delta = \frac{\partial \alpha_t}{\partial \delta} \cdot \delta$$

$$\alpha_t = \alpha_{wb} \left(1 - \frac{\delta E}{\delta \alpha}\right) - i$$

$\rightarrow$  SENZA EQUILIBRATORE

$$\alpha_t = \alpha_{wb} \left(1 - \frac{\delta E}{\delta \alpha}\right) - i + \sigma \delta$$

$\rightarrow$  CON EQUILIBRATORE

$$C_{L_t} = a_t \alpha_t = a_t \left[ \alpha_{wb} \left(1 - \frac{\delta E}{\delta \alpha}\right) - i + \sigma \delta \right]$$

$$C_l = (C_l)_c + \frac{\partial C_l}{\partial \delta} \cdot \delta = C_{l_c} \cdot \alpha + C_{l_s} \cdot \delta$$

CALCOLIAMO IL RAPPORTO:

$$\frac{C_{L\delta}}{C_{M\delta}} = \frac{C_{Leq} - C_{Ld} \cdot d_{eq}}{-C_{M0} - C_{Md} \cdot d_{eq}}$$

→ come PRIMA RICAPO  $d_{eq} = \frac{C_{L\delta} \cdot C_{M0} + C_{M\delta} \cdot C_{Leq}}{\Delta}$

$$\Rightarrow d_{eq} = \frac{C_{L\delta} \cdot C_{M0} + C_{M\delta} \cdot C_{Leq}}{\Delta}$$

↳ EQ. RETTA COME PRIMA CON 7 TECNICHE INDIP. da CL e UNO DIP. una rilevante DA ESSO.

•  $d_{eq}$  è il necessario x ottenere  $d_{eq}$ .

$$\Delta = C_{Ld} \cdot C_{M\delta} - C_{Md} \cdot C_{L\delta}$$

$$C_L = C_{Lwb} + C_{Lt} \cdot \frac{St}{S}$$

$$\frac{\partial C_L}{\partial \delta} = C_{L\delta} = \frac{\partial C_{Lwb}}{\partial \delta} + \frac{St}{S} \cdot \frac{\partial C_{Lt}}{\partial \delta}$$

14/05/2013 be  
RECUPERO 2CR

→ LO CALCOLIAMO IN DUE TIPI DI VEIVOLO:

VEIVOLO CONVENZIONALE | VEIVOLO TUTT'ALA

$$C_{L\delta} = \frac{St}{S} \frac{\partial C_{Lt}}{\partial \delta}$$

$$C_{L\delta} = \frac{\partial C_{Lwb}}{\partial \delta}$$

→ DECI ELEVONI

$$C_{L\delta} = \frac{St}{S} \frac{\partial C_{Lt}}{\partial \alpha} \cdot \frac{\partial \alpha}{\partial \delta}$$

$$C_{L\delta} = \frac{St}{S} a_t \cdot \sigma$$

2° SCRIVIAMO LA RELAZIONE (A)

$$C_{M0} = C_{M0wb} + C_L \frac{x_G - x_{a'}}{c} - C_{Lt} \bar{V} + C_{MPE}$$

$$\frac{\partial C_{M0}}{\partial \delta} = C_{M\delta} = \frac{\partial C_{M0wb}}{\partial \delta} + \frac{\partial C_L}{\partial \delta} \frac{x_G - x_{a'}}{c} - \frac{\partial C_{Lt}}{\partial \delta} \bar{V} + \frac{\partial C_{MPE}}{\partial \delta} = 0 \text{ TRASCORRIBILE}$$